

ÉCOLE NATIONALE DES CHARTES
UNIVERSITÉ PARIS, SCIENCES & LETTRES

Kelly Christensen

diplômée de doctorat musicologie

D'ALTO à TEI

**Modélisation de transcriptions automatiques
pour une pré-éditorialisation des textes**

Mémoire pour le diplôme de master

« Technologies numériques appliquées à l'histoire »

2022

Résumé

Quand des modèles OCR et HTR extraient les données d’une ressource textuelle numérisée, les informations relatives à la structure physique de l’image risquent de se perdre. Un schéma XML standardisé qui s’appelle ALTO a été créé afin de conserver et structurer ces données non-textuelles et géométriques en les tenant en relation avec le contenu textuel. La plupart des modèles OCR et HTR compte sur ce schéma. Cependant ALTO ne convient pas bien à l’édition numérique ni aux traitements automatique du langage. Les éditeurs et les chercheurs en lettres attendent un schéma XML plus courant dans le monde des humanités numériques : la TEI. Il faut donc un mapping pour transformer un fichier ALTO en fichier TEI sans perdre aucune donnée lors du processus. Cette transformation automatisée permet à conserver les données particulières au schéma ALTO, telles que celles sur la segmentation et sur la structure physique du document numérisé, ainsi qu’à exploiter le contenu textuel de la ressource textuelle. La flexibilité de la TEI et son usage très répandu rendent le schéma idéal pour mieux valoriser les données produites par les modèles OCR et HTR.

Dans le cadre du stage pour obtenir le diplôme de Master 2 « Technologies numériques appliquées à l’histoire », ce mémoire porte sur la modélisation de la transformation de ALTO en TEI. Cette modélisation a été réalisée dans le cadre du projet *Gallic(orpor)a*, financé par la BnF lors d’un stage qui a eu lieu au sein du laboratoire Automatic Language Modelling and Analysis & Computational Humanities entre avril et juillet 2022.

Mots-clés : HTR, OCR, ALTO, TEI, TAL, édition numérique.

Informations bibliographiques : Kelly Christensen, *D’ALTO à TEI, modélisation de transcriptions automatiques pour une pré-éditorialisant des textes*, mémoire de master « Technologies numériques appliquées à l’histoire », dir. Ségolène Albouy, École nationale des chartes, 2022.

Remerciements

M^{Es} remerciements vont tout d'abord à...

Introduction

Première partie

Présentation du projet

Chapitre 1

Qu'est-ce que l'HTR ?

Qu'est-ce qu'est l'*Handwritten Text Recognition* ou la reconnaissance automatique d'écriture manuscrite ? L'*Handwritten Text Recognition* (HTR) est l'un des meilleurs approches aujourd'hui à prédire du texte à partir d'une image numérique, y compris les manuscrits et les imprimés. Pour expliquer comment l'HTR se réalise, il faut exposer en premier temps qu'est-ce qu'une image numérique. En sachant à quoi ressemble la saisie d'un logiciel HTR, qui fait la prédiction du texte sur l'image, on comprend mieux le défi dont s'occupaient des chercheurs pendant près d'un siècle.

1.1 Le fonctionnement général de l'HTR

1.1.1 L'image numérique

L'un des objectifs de l'HTR est d'imiter l'œil humain et reconnaître les lignes et les points d'une écriture sur une image numérisée du texte. Une image numérique se compose d'un quadrillage des carrés qui s'appellent des pixels. Venant de l'anglais, le mot pixel veut dire *picture element* et il décrit l'élément le plus minimal d'une image numérique. Les pixels sont stockés dans un format *bitmap* ou BMP et chaque pixel peut compter 1 bit, 4 bits, 8 bits, ou 24 bits selon l'encodage de l'image. Quelque soit l'encodage, chaque pixel n'a qu'une seule couleur. Vu ensemble, un groupe de pixels peut donner l'impression des courbes d'un objet ou d'un caractère. L'exemple de figure 1.1 pourrait donc montrer la diagonale de la lettre « A » écrite en crayon rouge.

Un scanner encode l'image en décomposant une image en les unités de pixel et en donnant à chaque pixel un tableau de trois entiers. (cf. Figure 1.2) Le premier entier qui se trouve dans la donnée tripartite d'un pixel déclare le degré de la couleur rouge à rendre dans la carré. Le deuxième entier déclare le degré de la couleur vert et le troisième de la couleur bleu. En visionnant de loin un groupe de ces carrés, l'œil humain arrive à distinguer les formes. L'HTR vise à reproduire le même résultat et reconnaître les points contiguës d'un caractère.

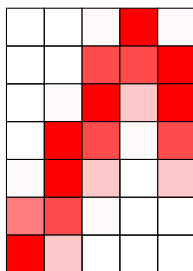


FIGURE 1.1 – Une couleur par pixel

255,255,255	255,255,255	255,250,250	255,0,0	255,250,250
255,255,255	255,255,255	255,75,75	255,75,75	255,0,0
255,255,255	255,250,250	255,0,0	255,200,200	255,0,0
255,255,255	255,0,0	255,75,75	255,250,250	255,75,75
255,250,250	255,0,0	255,200,200	255,255,255	255,200,200
255,125,125	255,75,75	255,250,250	255,255,255	255,255,255
255,0,0	255,200,200	255,255,255	255,255,255	255,255,255

FIGURE 1.2 – Donnée tripartite portant sur le degré du rouge, du vert, et du bleu

1.1.2 Les tâches d'un logiciel HTR

Un logiciel HTR peut faire trois tâches : la segmentation de la page, l'analyse de la mise en page, et la transcription du texte. L'analyse de la mise en page n'est pas nécessaire, mais les deux autres tâches sont essentielles. Chacune exige son propre modèle entraîné pour la faire. (cf. Figure 1.3)

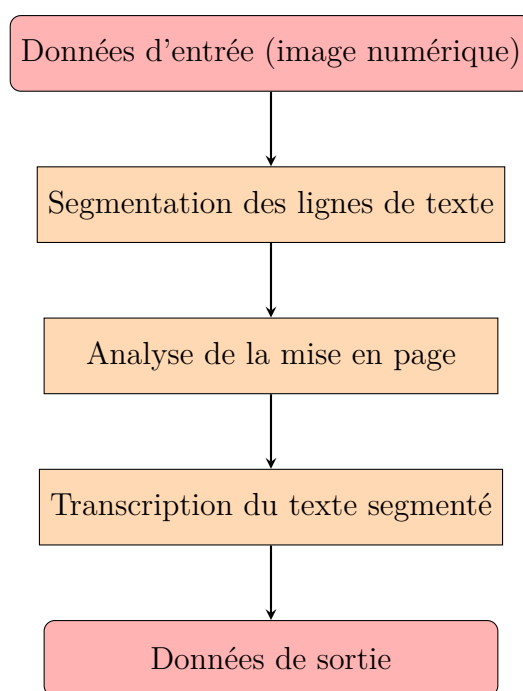


FIGURE 1.3 – Processus d'un logiciel HTR

La segmentation et la mise en page

La première tâche de la reconnaissance du texte et de localiser l'emplacement du texte. Cette étape s'appelle souvent la segmentation et elle est indispensable.¹ Afin de prédire le texte sur une image, il faut d'abord avoir établi sa présence. Cette étape s'effectue par un modèle de segmentation, qui se distingue d'un modèle HTR ; le dernier s'occupe de la transcription d'une écriture manuscrite, et le premier s'occupe de la segmentation de la page. Cependant, un logiciel HTR allie les données produites par ces deux types de modèle.

Selon son entraînement, un modèle de segmentation recherche les espaces entre les contours d'un caractère ou entre les lignes de texte. Si le modèle est entraîné pour reconnaître du texte écrit en japonais, par exemple, il rechercherait l'ensemble de caractères bordés à gauche et à droite de l'espace et les reconnaîtrait comme étant une ligne de texte. Ainsi que tracer la limite d'une ligne de texte, il faut aussi tracer la limite d'un caractère. L'ensemble de coordonnées qui encadre une telle entité s'appelle un « masque ».² Cet objet contiguë permet au modèle reconnaître du texte. Après avoir reconnu les entités telles que les lignes de texte, qui s'encadrent dans les masques, le logiciel HTR pourrait

1. Alix CHAGUÉ, Thibault CLÉRICE et Laurent ROMARY. « HTR-United : Mutualisons La Vérité de Terrain ! » In : *DHNord2021 - Publier, Partager, Réutiliser Les Données de La Recherche : Les Data Papers et Leurs Enjeux*. Lille, France : MESHS, nov. 2021. URL : <https://hal.archives-ouvertes.fr/hal-03398740> (visité le 10/08/2022).

2. Denis COQUENET, Clément CHATELAIN et Thierry PAQUET. « Handwritten Text Recognition : From Isolated Text Lines to Whole Documents ». In : *ORASIS 2021*. Saint Ferréol, France : Centre National de la Recherche Scientifique [CNRS], sept. 2021. URL : <https://hal.archives-ouvertes.fr/hal-03339648> (visité le 04/08/2022).

ensuite analyser la mise en page des entités, mais, comme explique Alix Chagué, cette étape n'est pas nécessaire à l'HTR.³

La transcription

Fondamentale à l'HTR est la transcription du texte. Cette dernière tâche d'un logiciel HTR s'effectue à partir des données encadrées dans les masques. Il faut ce qu'on appelle un modèle HTR, pourtant l'HTR veut décrire plus généralement le processus de reconnaître du texte, y compris la segmentation et la transcription. La sortie d'un logiciel HTR peut être aussi enrichie pour inclure les données de la segmentation ou aussi simple qu'il ne présente que le texte brut de la transcription. En tout cas, la transcription est l'essentiel dans la reconnaissance du texte.

1.2 Les origines de l'HTR

L'*Handwritten Text Recognition* a évolué à partir de l'*Optical Character Recognition*. Les origines de cette dernière méthode atteignent jusqu'au dix-neuvième siècle. Mais les progrès les plus importants à la technologie éventuelle dont le projet *Gallic(orpor)a* profite ont eu lieu il y a plus qu'un demi-siècle aux États-Unis. Le développement des logiciels OCR a été réalisé dans le cadre de l'amélioration du traitement en masse des données numérisées. Dans les années soixante, ce besoin de gérer et traiter des quantités vastes de données s'est fait senti largement dans les grandes sociétés, surtout les banques. Mais la numérisation des journaux et le traitement en masse des lettres à la poste étaient aussi quelqueuns des contextes importants du développement de la reconnaissance du texte sur l'image.

Dans les années mille neuf cent soixante, plus en plus de sociétés voulaient adopter le traitement des données assisté par ordinateur. Ce traitement a exigé l'encodage des données dans un format directement exploitable par ordinateur. En gros il y avait deux moyens de la saisie des données. En premier temps, il y avait la carte perforée dans laquelle une machine ferait des trous qu'un ordinateur savait lire. En deuxième temps, il y avait la bande magnétique sur laquelle une machine imprimerait des bytes, la plus petite unité exploitable par ordinateur.

L'*Optical Character Recognition* comptait sur ce dernier moyen ainsi qu'une autre technologie, la numérisation des images par scanner. L'atout de l'OCR est qu'en principe sa saisie de données se fait automatiquement. À l'époque, les autres moyens d'encoder les données textuelles exigeaient la saisie manuelle des données. Dans le cas des cartes perforées, un individu lirait un document et taperait son texte à la perforatrice à clavier. Le *Magnetic Tape/Selectric Typewriter* (MT/ST), développé par l'entreprise américaine

3. CHAGUÉ, CLÉRIE et ROMARY, « HTR-United ».

IBM en 1964, comptait sur la même saisie manuelle des données mais il les a encodé sur une bande magnétique au lieu d'une carte perforée.

En 1971, le chercheur Ben R. Schneider a comparé l'OCR et ces deux autres moyens d'encodage du texte.⁴ Schneider a déterminé que l'OCR n'avait pas encore surpassé l'appareil MT/ST d'IBM parce que, malgré sa saisie automatique de données, il exigeait toujours beaucoup de correction à la main. Contrairement aux deux autres méthodes, puisque les données d'entrée du traitement OCR n'étaient pas créées par un humain mais par un scanner, l'OCR n'a pas permis de la correction lors de la saisie. L'appareil MT/ST avait donc une exactitude supérieure à l'OCR à l'époque.

En outre, un logiciel OCR était limité par son jeu de données de polices, puisqu'il prédit du texte en faisant une comparaison entre un caractère qu'il a mémorisé et le motif qu'il a reconnu sur l'image. Même aujourd'hui l'OCR se distingue de son successeur l'HTR par le fait qu'il compte sur une base de données des polices. Contraire à l'OCR dans les années soixante-dix, l'appareil MT/ST pourrait encoder des documents des diverses polices en comptant sur le discernement d'un être humain lors de la saisie des données.

En 1977, ayant vu le progrès de la technologie, Gian Piero Zarri a résumé l'état de l'OCR. Il a remarqué que la reconnaissance du texte sur les manuscrits n'était pas encore faisable.

Rappelons que la reconnaissance optique des caractères permet la lecture directe du texte par un « scanner » qui se charge d'effectuer le transfert sur bande magnétique; le texte doit être composé avec des caractères de type « imprimerie » ou « machine à écrire », car la lecture de caractères « manuels » ne semble pas encore actuellement complètement sortie de la phase expérimentale.⁵

Il y a deux ans avant l'appréciation de Zarri, le chercheur américain Ray Kurzweil a produit son lecture *Kurzweil* ou le *Kurzweil Reading Machine* (KRM). L'appareil a avancé l'OCR en pouvant reconnaître plusieurs polices.⁶ Cependant, comme dit Zarri, l'OCR restait sous la dépendance de la reconnaissance des polices et donc ne pouvait pas encore parvenir à la prédiction du texte écrit, ce qui a poussé le développement de l'*Handwritten Text Recognition*.

4. Ben R. SCHNEIDER. « The Production of Machine-Readable Text : Some of the Variables ». In : *Computers and the Humanities* 6.1 (sept. 1971), p. 39-47. ISSN : 0010-4817, 1572-8412. DOI : 10.1007/BF02402324. URL : <http://link.springer.com/10.1007/BF02402324> (visité le 02/08/2022).

5. Gian Piero ZARRI. « Quelques aspects techniques de l'exploitation informatique des documents textuels : saisie des données et problèmes de sortie ». In : *Publications de l'École Française de Rome* 31.1 (1977), p. 399-413. URL : https://www.persee.fr/doc/efr_0000-0000_1977_act_31_1_2286 (visité le 01/08/2022).

6. Gregory GOODRICH. « Kurzweil Reading Machine : A Partial Evaluation of Its Optical Character Recognition Error Rate ». In : *Journal of Visual Impairment and Blindness* (12 jan. 1979).

La binarisation

Afin de reconnaître la police d'un caractère, les logiciels OCR du XXe siècle avaient besoin d'un processus préliminaire qui s'appelle la binarisation. Depuis quelques années, cette étape n'est plus nécessaire pour l'HTR mais il est toujours courant pour les logiciels OCR contemporains.⁷ Comme expliquent Patrick Jentsch et Stephan Porada, « The idea is to only extract the pixels which actually belong to the characters and discard any other pixel information which, for example, is part of the background. »⁸ La binarisation trie les pixels d'une image en deux classes : l'arrière-plan (*background* en anglais) et le premier plan (*foreground* en anglais).

Normalement pour binariser une image, on veut remplacer la valeur composée d'un pixel, c'est-à-dire les trois degrés du rouge, du vert, et du bleu, avec la valeur simple d'un décimal. Ce décimal veut représenter l'échelle des gris dans le pixel. En anglais, ce traitement s'appelle le *grayscale* ou le niveau de gris en français. Aujourd'hui les langages de programmation ont souvent des bibliothèques qui fournissent des méthodes pour rendre une image en niveau de gris automatiquement. Mais dans la Figure 1.4, nous donnons un calcul simple qui sert à montrer en exemple le traitement niveau de gris. On commence toujours avec la donnée tripartite du pixel, qu'on veut remplacer par une seule valeur. Représentons chaque partie de la donnée du pixel par les variables p :

$$p_1, p_2, p_3$$

En premier temps, on prend la moyenne des degrés de la couleur, c'est-à-dire la moyenne de p ou \bar{p} . La Figure 1.6a montre le résultat de ce calcul superposé à l'image originale.

$$\bar{p} = \sum_{i=1}^3 \frac{1}{3} p_i = \frac{1}{3} (p_1 + p_2 + p_3)$$

Ensuite, on récupère \bar{p} et la divise par la valeur maximale du p , qui est 255 parce que le degré du rouge, vert, ou bleu d'un pixel ne monte qu'à 255. La Figure 1.6b montre le résultat de ce calcul.

Il y a plusieurs techniques de binarisation mais toute a besoin d'un seuil (*threshold* en anglais). Le seuil nous permet à trier les pixels en les deux classes : le *background* et le *foreground*. Nos yeux font cette étape facilement, mais un ordinateur a besoin d'un algorithme. L'un des algorithmes le plus courant pour définir le seuil a été élaboré en 1979 par le chercheur Nobuyuki Otsu.⁹

7. Patrick JENTSCH et Stephan PORADA. « From Text to Data Digitization, Text Analysis and Corpus Linguistics ». In : *Digital Methods in the Humanities : Challenges, Ideas, Perspectives*. Sous la dir. de Silke SCHWANDT. Bielefeld University Press, 2021.

8. Ibid., p. 107.

9. Nobuyuki OTSU. « A Threshold Selection Method from Gray-Level Histograms ». In : *IEEE Transactions on Systems, Man, and Cybernetics* 9.1 (jan. 1979), p. 62-66.

Donnée tripartite du pixel p_1, p_2, p_3	Moyenne du pixel $\sum_{i=1}^3 p_i$	Valeur niveau de gris du pixel $\frac{\sum_{i=1}^3 p_i}{\max\{p_i\}}$
255,000,000	$\bar{p} = \frac{255+0+0}{3} = 85$	$\frac{\bar{p}}{255} = 0.33$
255,075,075	$\bar{p} = \frac{255+75+75}{3} = 135$	$\frac{\bar{p}}{255} = 0.53$
255,125,125	$\bar{p} = \frac{255+125+125}{3} = 168.33$	$\frac{\bar{p}}{255} = 0.66$
255,200,200	$\bar{p} = \frac{255+200+200}{3} = 218.33$	$\frac{\bar{p}}{255} = 0.86$
255,250,250	$\bar{p} = \frac{255+220+220}{3} = 251.67$	$\frac{\bar{p}}{255} = 0.99$
255,255,255	$\bar{p} = \frac{255+255+255}{3} = 255$	$\frac{\bar{p}}{255} = 1.00$

FIGURE 1.4 – Évaluation des pixels

La méthode Otsu de seuillage reste toujours courante dans l'HTR¹⁰ et elle fait partie de la librairie Python `numpy`.¹¹ Elle examine la variance entre les deux classes (*background* et *foreground*) pour déterminer un seuil idéal pour le jeu de données. Visualisées dans un histogramme, comme on voit dans la Figure 1.5, les données d'un jeu de pixels devraient se lever dans deux sommets et, idéalement, une baisse profonde devrait les diviser. Cette variance veut dire qu'il y a dans l'image une distinction importante entre les contours d'un caractère et l'arrière-plan de l'image. La méthode de seuillage examine la variance entre ces deux classes, le contour et l'arrière-plan, pour générer un seuil adapté aux données.

Le seuil sert à transformer la valeur numérique de chaque pixel soit en 0, soit en 1. Les pixels dont la valeur tombe au-dessous du seuil prennent la valeur 0 ; les autres, étant déterminés de faire partie du contour du caractère, prennent la valeur 1. La Figure 1.6c montre un exemple du résultat de ce triage. Ainsi, les logiciels OCR et HTR peuvent analyser les valeurs identiques et contiguës dans les données de l'image. Mais le logiciel n'est pas encore prêt à percevoir l'occurrence d'un caractère.

1.2.1 L'algèbre linéaire, les matrices, et l'intelligence artificielle

On transforme les pixels d'un caractère en une matrice, telle que celle dans la Figure 1.7b. Pourquoi ? À la base, l'ordinateur est une calculatrice. Les logiciels OCR et HTR décomposent une image numérique en les représentations mathématiques, les matrices. Ainsi, les matrices permettent aux logiciels faire des calculs probabilistes et prédire quel caractère correspond à quelle représentation. Mais pour faire des prédictions, un

10. Imran-Ahmed SIDDIQI, Florence CLOPPET et Nicole VINCENT. « Writing Property Descriptors : A Proposal for Typological Groupings ». In : *Gazette du livre médiéval* 56.1 (2011), p. 42-57. DOI : 10.3406/galim.2011.1981. URL : https://www.persee.fr/doc/galim_0753-5015_2011_num_56_1_1981 (visité le 02/08/2022).

11. *Numpy : NumPy Is the Fundamental Package for Array Computing with Python*. Version 1.23.1. URL : <https://www.numpy.org> (visité le 04/08/2022).

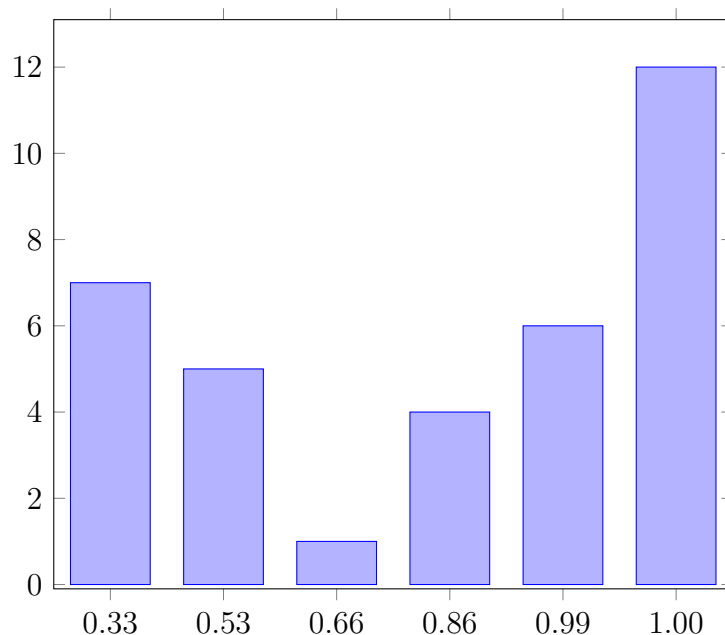


FIGURE 1.5 – Histogramme des valeurs niveau de gris des pixels

logiciel a besoin d'une intelligence artificielle.

Template matching

Pendant la dernière moitié du XXe siècle, la reconnaissance du texte et l'intelligence artificielle ont tous les deux vécu des progrès importants. Déjà en 1950, il y a plus que soixante-dix ans, Alan Turing a publié sa théorisation de l'IA.¹² Pendant les années soixante, au début de l'OCR, l'IA a rendu possible la prédiction du texte représenté par les matrices en correspondant la représentation qu'un logiciel a reconnue à la représentation d'un caractère qu'il avait dans sa base de données. Cette technique primitive est le *template matching* ou le filtrage par modèle. Elle n'est pas le moyen le plus pratique. Les chercheurs V. K. Govindan et A. P. Shivaprasad l'ont apprécié en 1990, après qu'elle a été dépassée par le *feature analysis*.

[Template matching] directly compares an input character to a standard set of prototypes stored [*modèles stockés*]. The prototype that matches most closely provides recognition. [...] This type of technique suffers from sensitivity to noise and is not adaptive to differences in writing style.¹³

Sous la dépendance du *template matching*, un logiciel OCR ne parviendra pas à la prédiction d'un caractère si la totalité de sa représentation en matrice n'est pas assez proche

12. A. M. TURING. « Computing Machinery and Intelligence ». In : *Mind* LIX.236 (1^{er} oct. 1950), p. 433-460. ISSN : 0026-4423. DOI : 10.1093/mind/LIX.236.433. URL : <https://doi.org/10.1093/mind/LIX.236.433> (visité le 04/08/2022).

13. V. K. GOVINDAN et A. P. SHIVAPRASAD. « Character Recognition — A Review ». In : *Pattern Recognition* 23.7 (1990), p. 671. ISSN : 0031-3203. URL : https://www.academia.edu/6986960/Character_recognition_A_review (visité le 05/08/2022).

255	255	251.67	85	251.67
255	255	135	135	85
255	251.67	85	218.33	85
255	85	135	251.67	135
251.67	85	218.33	255	218.33
168.33	135	251.67	255	255
85	218.33	255	255	255

(a) La moyenne de chaque pixel

1.00	1.00	0.98	0.33	1.98
1.00	1.00	0.53	0.53	0.33
1.00	0.98	0.33	0.86	0.33
1.00	0.33	0.53	0.98	0.53
0.98	0.33	0.86	1.00	0.86
0.66	0.53	0.98	1.00	1.00
0.33	0.86	1.00	1.00	1.00

(b) L'image en niveau de gris

0	0	0	1	0
0	0	1	1	1
0	0	1	0	1
0	1	1	0	1
0	1	0	0	0
1	1	0	0	0
1	0	0	0	0

(c) L'image binarisée

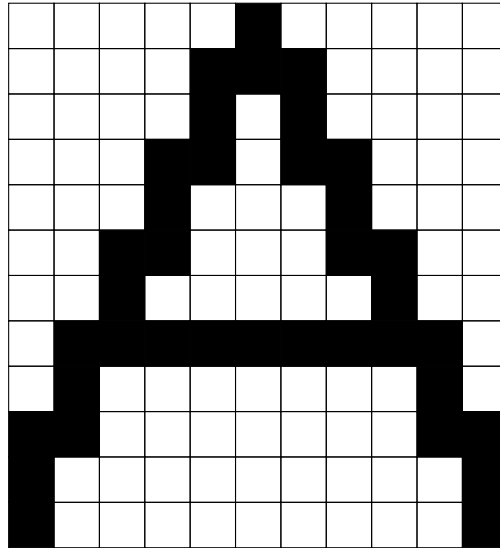
FIGURE 1.6 – La binarisation

au modèle stocké lors de sa programmation.

Feature analysis

Les progrès dans l'IA pendant les années soixante-dix et quatre-vingt ont rendu possible le développement d'une nouvelle technique dont profitent toujours les logiciels OCR, quoique avec beaucoup d'élaboration depuis. Au lieu de correspondre la représentation d'un caractère à une autre, les logiciels OCR décomposent un caractère en ses *features* ou ses aspects. En 1990, Govindan et Shivaprasad ont résumé l'état de cette technique.

The features may represent global and local properties of the characters. These include strokes, and bays in various directions, end points, intersections of line segments, loops [...], and stroke relations, angular properties, sharp protrusions [...]. These features have high tolerances to distortions and style variations, and also tolerate a certain degree of translation and rotation. However, the



(a) Le masque de la lettre *A*,
sur l'image binarisée

$$\begin{pmatrix} 0 & 0 & 0 & 0 & 0 & 1 & 0 & 0 & 0 & 0 & 0 \\ 0 & 0 & 0 & 0 & 1 & 1 & 1 & 0 & 0 & 0 & 0 \\ 0 & 0 & 0 & 0 & 1 & 0 & 1 & 0 & 0 & 0 & 0 \\ 0 & 0 & 0 & 1 & 1 & 0 & 1 & 1 & 0 & 0 & 0 \\ 0 & 0 & 0 & 1 & 0 & 0 & 0 & 1 & 0 & 0 & 0 \\ 0 & 0 & 1 & 1 & 0 & 0 & 0 & 1 & 1 & 0 & 0 \\ 0 & 0 & 1 & 0 & 0 & 0 & 0 & 0 & 1 & 0 & 0 \\ 0 & 1 & 1 & 1 & 1 & 1 & 1 & 1 & 1 & 1 & 0 \\ 0 & 1 & 0 & 0 & 0 & 0 & 0 & 0 & 0 & 1 & 0 \\ 1 & 1 & 0 & 0 & 0 & 0 & 0 & 0 & 0 & 1 & 1 \\ 1 & 0 & 0 & 0 & 0 & 0 & 0 & 0 & 0 & 0 & 1 \\ 1 & 0 & 0 & 0 & 0 & 0 & 0 & 0 & 0 & 0 & 1 \end{pmatrix}$$

(b) La matrice du masque de
la lettre *A*

FIGURE 1.7 – La matrice d'un caractère

extraction processes are in general very complex and it is difficult to generate masks for these types of features.¹⁴

Ainsi, le logiciel OCR essaie de correspondre l'ensemble de certains aspects d'une représentation à l'ensemble des mêmes aspects aux lesquels le logiciel associe un caractère. Comme dissent Govindan et Shivaprasad, un aspect peut être un trait, le croisement des lignes, une boucle, la relation entre plusieurs traits, la caractéristique des angles, ou une saillie.

Grâce à la technique de *feature analysis*, un logiciel OCR moderne parvient à prendre

14. GOVINDAN et SHIVAPRASAD, « Character Recognition — A Review ».

une décision quant à la représentation d'un caractère bien qu'il n'ait pas trouvé le caractère de la même police, ayant la même représentation, dans sa base de données. *L'Handwritten Text Recognition* utilise aussi du *feature analysis*. Mais à la place de produire les métadonnées sur la police du caractère segmenté et reconnu ainsi que la langue du texte, l'HTR analyse les aspects d'un caractère simplement pour prédire le texte. Cependant, cette analyse n'est pas plus simple que celle réalisée par un logiciel OCR.

Le logiciel HTR a besoin d'associer beaucoup d'aspects d'une variété immense à un seul caractère puisqu'un main peut écrire un caractère par plusieurs moyens, selon la position de la lettre dans un mot. En outre, un main peut bien varier sa manière d'écriture et une page peut avoir plusieurs mains. Dit simplement, l'OCR analyse les aspects d'un caractère du point de vue d'une langue et d'une police attendue. L'HTR se focalise uniquement sur les aspects topologiques d'un caractère, sans besoin de savoir la langue ni avoir appris la police du texte.

Deep learning

Aujourd'hui l'HTR profite du *feature analysis* ainsi qu'un développement plus récent dans l'intelligence artificielle qui s'appelle le *deep learning* ou l'apprentissage profond. Pouvant s'améliorer grâce aux réseaux neurones, un logiciel OCR ou HTR moderne peut prendre les décisions de plus en plus bonnes quand il essaie de prédire du texte à partir de l'analyse des aspects (*feature analysis*). L'un des premiers mises en œuvre des réseaux neurones pour *l'Handwritten Text Recognition* était le projet européen *Transkribus*.¹⁵ Un autre projet européen a suivi *Transkribus* et, contrairement au premier, laisse ses données et les architectures de ses modèles ouvertes : *Kraken*.¹⁶ Élaboré dans l'esprit de la science ouverte, le projet *Gallic(orpor)a* a profité plutôt du *Kraken* ainsi qu'une interface graphique qui le met en œuvre et qui est aussi ouverte, *eScriptorium*.

1.3 Le modèle HTR

Puisque *Transkribus* et *Kraken* profitent tous les deux de l'apprentissage profond, les processus mis en œuvre par les interfaces graphiques *Transkribus* et *eScriptorium* ressemblent généralement à la même description. Ils commencent avec l'entraînement d'un modèle HTR. Ensuite, ils appliquent le modèle entraîné aux données d'entrées, c'est-à-dire l'image d'un page numérisée. Le taux de réussite se calcule par le pourcentage des

15. Guenter MUEHLBERGER et al. « Transforming Scholarship in the Archives through Handwritten Text Recognition : Transkribus as a Case Study ». In : *Journal of Documentation* 75.5 (9 sept. 2019), p. 954-976. ISSN : 0022-0418. DOI : 10.1108/JD-07-2018-0114. URL : <https://www.emerald.com/insight/content/doi/10.1108/JD-07-2018-0114/full/html> (visité le 04/08/2022).

16. Benjamin KIESSLING. « Kraken - an Universal Text Recognizer for the Humanities ». In : ADHO 2019 - Utrecht. 2019. URL : <https://dh-abstracts.library.cmu.edu/works/9912> (visité le 10/08/2022).

mots et des lignes de texte sur une page numérisée que le modèle n'a jamais vues mais qui étaient bien prédites.

1.3.1 Les données d'entrée

En premier temps, avant de penser à l'entraînement d'un modèle, il faut bien connaître sa saisie de données. Les données d'entrée d'un modèle vont être les images numériques, composées des pixels. En général, leurs contenus textuels devraient se ressembler afin que le modèle se spécialise dans une écriture particulière. Il est pourtant possible d'entraîner un modèle très généralisé. Cependant, il faut un corpus très large des données d'entraînement.

1.3.2 Les données d'entraînement

Le premier défi de l'entraînement d'un modèle HTR est la création des données d'entraînement. Ces données sont des transcriptions annotées et corrigées à la main à partir des images. La paire d'image et de transcription s'appelle une vérité de terrain ou *ground truth* en anglais, puisque la transcription doit être parfaite ou *vraie*.¹⁷ Afin d'entraîner un modèle HTR, il faut un jeu des vérités de terrain. Alix Chagué explique les vérités de terrain comme,

des ensembles de données annotées et corrigées de manière à fournir au modèle des paires composées d'une part d'une image ou d'une portion d'image (entrée) et d'autre part de l'annotation attendue (sortie), qui peut être des coordonnées dans le cas de la segmentation ou un ensemble de caractères pour la transcription.¹⁸

Lors de l'apprentissage, les vérités de terrain fournissent au modèle en cours son résultat souhaité pour qu'il puisse savoir comment se modifier sa manière de prédire afin de produire les bonnes prédictions ou les prédictions *vraies*. Les données doivent ressembler parfaitement la prédiction idéale d'une donnée d'entrée. Grâce à l'apprentissage profonde, un modèle peut s'apprendre comment arriver à la prédiction souhaitée, selon ses données d'entraînement.

1.3.3 L'entraînement

Lors de l'entraînement, le modèle HTR (même un modèle TAL) s'évalue périodiquement et encore une fois terminé l'entraînement. La dernière évaluation s'appelle le *score*.

17. David LASSNER et al. « Publishing an OCR Ground Truth Data Set for Reuse in an Unclear Copyright Setting. Two Case Studies with Legal and Technical Solutions to Enable a Collective OCR Ground Truth Data Set Effort ». Version 1.0. In : *Fabrikation von Erkenntnis – Experimente in den Digital Humanities*. Hg. von Manuel Burghardt Lisa Dieckmann (2021). Avec la coll. d'Herzog August BIBLIOTHEK, 5). DOI : 10.17175/SB005_006. URL : https://zfdg.de/sb005_006 (visité le 10/08/2022).

18. CHAGUÉ, CLÉRICE et ROMARY, « HTR-United ».

Afin d'obtenir un meilleur *score*, on peut optimiser l'entraînement du modèle en appuyant sur plusieurs paramètres.

Par exemple, on peut modifier le nombre de fois que le modèle révise sa manière de faire ses tâches de prédiction. Chaque essaie s'appelle un *epoch*, dérivé de l'anglais *epoch*, et plus d'*epoch* permet au modèle plus d'essai à s'améliorer. Cependant, plus d'*epoch* pèse plus sur le budget d'un projet puisqu'il consomme plus de puissance de calcul et plus de temps. En outre, on ne veut pas faire passer trop d'*epoch* et risquer le sur-apprentissage d'un modèle, qui s'appelle le *overfitting* en anglais. Cela veut dire que la fonction prédictive du modèle s'est trop bien adaptée à ses données d'entraînement, y compris tout le bruit des données, et elle n'est pas suffisamment généralisée pour réussir sur les données que le modèle n'avait jamais vues. En outre, on peut dire au modèle à quel point il devrait se changer après chaque *epoch*, qui s'appelle son *learning rate*.

On peut aussi modifier la composition du jeu de données qui se trait lors d'un *epoch*. Ce dernier paramètre s'appelle un *batch size*, et il est aussi un entier, comme l'*epoch*. Disons qu'on veut entraîner notre modèle sur 400 images. Un *epoch* prendrait trop de temps et trop de puissance de calcul s'il essayait de traiter toutes les images de notre jeu de données au même temps. Du coup, on veut le diviser selon notre paramètre *batch size*. Si on déclarait un *batch size* de 100 images, on dirait au modèle qu'il faut itérer sur son jeu de données 4 fois afin de compléter un *epoch*, en rappelant qu'un *epoch* est égal à une fois à travers le jeu de données d'entraînement. On voit cet exemple visualisé dans la Figure 1.8. Ce qu'on appelle l'erreur, qui veut dire la différence entre la prédiction du modèle et la vérité de terrain, se calculera à chaque itération d'un *batch* dans un *epoch*. On veut que cette valeur se diminue, qui veut dire que la prédiction du modèle se ressemble de plus en plus à la vérité. Pour encore optimiser le modèle, on peut choisir entre plusieurs fonctions pour calculer l'erreur, ce qu'on appelle une *loss function*. Dans l'exemple de la Figure 1.8, on pourrait appliquer une *loss function*, telle que le *mean squared error* (MSE), aux toutes les prédictions d'un *batch* afin de connaître l'erreur ou le *loss* du modèle à ce point de l'entraînement.

Dans le cadre du projet *Gallic(orpor)a*, Ariane Pinche a entraîné un modèle HTR sur le corpus gold que l'équipe a fait à la main et qui a été vérifié. Elle l'a scindé en trois. 80% des images traitées lors d'un *epoch* faisait partie de ce qui s'appelle le *training set*. Le modèle ne s'est pas disposé des vérités de terrain de ces images. Cela veut dire qu'après chaque *epoch*, le modèle n'a pas pu vérifier si ses prédictions étaient les bonnes pour les images du *training set*. 10% des images faisait partie de ce qui s'appelle le *development set*. L'intelligence artificielle avait d'accès aux vérités de terrain pour ce jeu de données et les utilisait pour évaluer ses transcriptions à la fin de chaque *epoch*. Son taux de réussite l'informe comment modifier sa manière d'analyser la mise en page et de prédire le texte pour l'*epoch* prochain. Pour terminer, le modèle dispose de 10% d'images du corpus gold, qui s'appelle le *testing set*, dont les vérités de terrain il peut consulter. Ces derniers l'ont

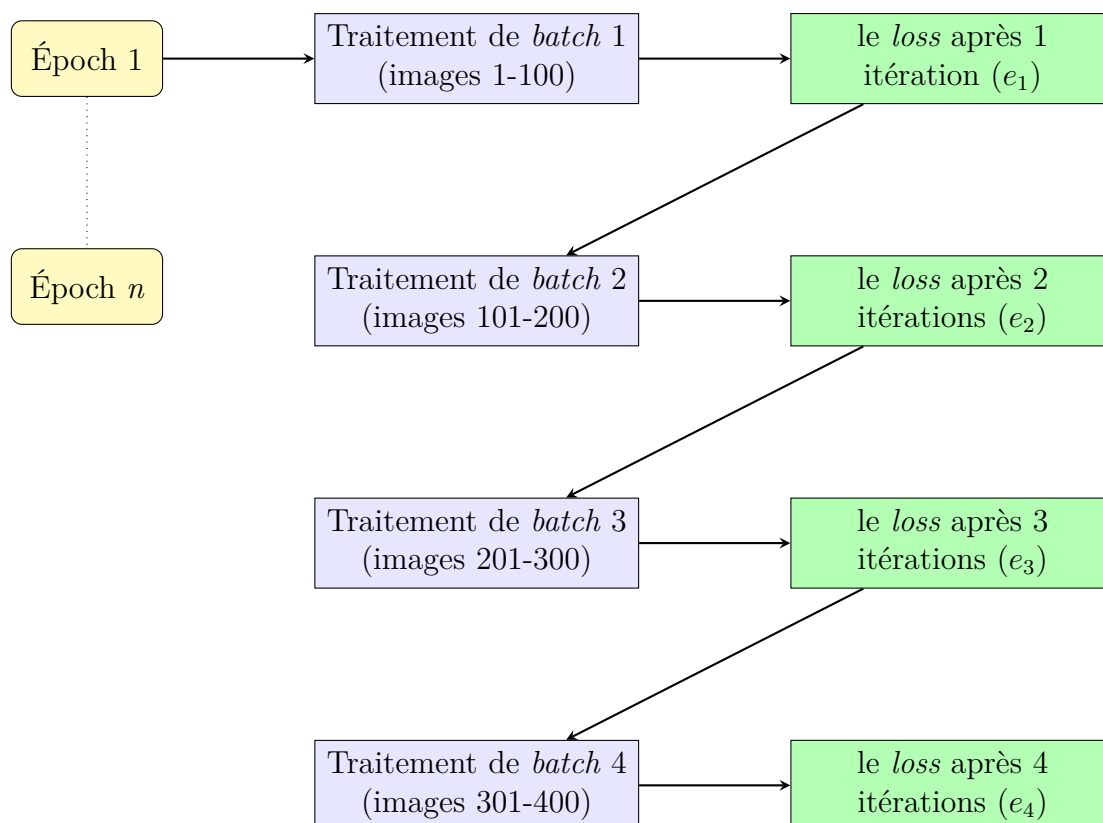


FIGURE 1.8 – La visualisation d'époch 1

aidé à déterminer, après tout, le taux de réussite du modèle final sur les données qu'il n'avait pas vues lors de son entraînement.

1.3.4 Le résultat de l'entraînement

Le résultat de l'entraînement s'appelle un modèle. Étant spécialisé dans une écriture particulière, le modèle pourrait ensuite se mettre en œuvre pour prédire du texte sur les images qui ressemblent aux données d'entraînement. Les chercheurs s'occupent du développement des nouveaux modèles HTR qui se spécialisent dans certains manuscrits et certaines imprimés historiques. Le projet *Gallic(orpor)a* visait à entraîner plusieurs modèles. Un se spécialisera dans l'écriture des manuscrits et des incunables. Un autre modèle s'entraînera pour les imprimés.

Cependant, tous les modèles du projet *Gallic(orpor)a* se spécialisent dans les écritures latines. En théorie, un modèle HTR n'est pas limité aux polices et aux langues. Mais, jusqu'au présent, tout modèle efficace compte sur une écriture spécifique. Donc, un modèle entraîné sur les imprimés en français du XVIIe siècle peut cependant produire des bonnes prédictions pour une imprimée du même siècle en italien. Par contre, sa prédiction d'un texte écrit en arabe ne parviendra pas au même taux de réussite que le modèle atteindrait pour une imprimée en français. Le modèle ne saurait pas segmenter l'écriture arabe puisqu'il s'est appris comment reconnaître les caractères en cherchant les espaces

attendues dans une écriture latine.

Chapitre 2

Le rêve du projet *Gallic(orpor)a*

Le projet *Gallic(orpor)a* s’est développé à partir de plusieurs projets précédents et il tire parti de divers domaines de recherche. Ses créateurs, en mettant en valeur leurs propres connaissances, ont visé à assembler un pipeline qui peut traiter tout document dans la base de données Gallica de la Bibliothèque nationale de France (BnF). Les chercheurs spécialisés en *l’Handwritten Text Recognition* (HTR), en le Traitement automatique des langues (TAL), en l’histoire, en la littérature, en la lexicographie et en la stylométrie se sont rassemblés pour réaliser ce pipeline. Le pipeline visait à prédire et analyser du ancien français et du français de l’Ancien Régime, ainsi que les manuscrits et les imprimés, à partir des pages numérisées des documents créés entre 1400 et la révolution française. Cependant, le vrai rêve du projet était de produire un prototype qui servirait d’exemple et pourrait être élaboré dans le but de traiter vraiment tout document source numérisé.

Les ambitions du *Gallic(orpor)a* se sont rendu possibles grâce aux recherches de plusieurs chercheurs et ingénieurs, tel que Laurent Romary, Philippe Gambette, Thibault Clérice, Pedro Suarez Ortiz, Claire Jahan, Caroline Corbières, et Alexandre Bartz. Mais les principaux qui se chargeaient de la surveillance du projet *Gallic(orpor)a* lors de mon stage en 2022 étaient Jean-Baptiste Camps, Simon Gabay, et Ariane Pinche, qui ont développé des modèles HTR pour extraire du texte des document numériques dans la base de données Gallica. Chez Inria, en tant que stagiaire, j’ai aussi travaillé en collaboration avec Benoît Sagot et Rachel Bawden, qui ont développé des outils d’analyse linguistique du texte extrait. Tous ensemble, ces chercheurs de divers spécialités ont contribué leurs connaissances pour produire un processus du traitement polyvalent.

2.1 Le contexte du projet

Bibliothèque nationale de France et le Data Lab

Le Data Lab s’est mis en place au sein de la Bibliothèque nationale de France (BnF) en 2021.¹ Lors de sa première année, le Data Lab a lancé son premier appel aux projets qui mettent en valeur les fonds et les ressources de l’institution phare patrimoniale. Le projet *Gallic(orpor)a* faisait partie des premiers projets acceptés en 2021, à côté des projets *AUREJ* (Accès Unifié aux REssources de la Jouabilité), *GALLICAENV*, *BUZZ-F*, et *AGODA* (Analyse sémantique et Graphes relationnels pour l’Ouverture et l’étude des Débats à l’Assemblée nationale).² Ayant sa candidature retenue, *Gallic(orpor)a* profitait du financement du Data Lab de la BnF. La plupart du travail sur le projet a eu lieu pendant la première moitié de 2022, suite au mis en place du stage et des vacations par Ariane Pinche, Simon Gabay, et Benoît Sagot.

Inria et l’équipe ALMAnaCH

Inria est l’Institut national de recherche en sciences et technologies du numérique et il compte plusieurs branches dans le monde. La branche parisienne encadre l’équipe ALMAnaCH dont le acronyme veut dire *Automatic Language Modelling and Analysis & Computational Humanities*. Au sein d’ALMAnaCH s’est développé le meilleur modèle TAL pour la langue française, CamemBERT.³ L’équipe ALMAnaCH encadre les chercheurs, les ingénieurs, les doctorants, et les stagiaires attachés aux projets concernés soit par le traitement automatique des langues, soit par les humanités numériques. L’acronyme du nom fait référence à ces deux pôles de recherche : *Automatic Language Modelling and Analysis* est le traitement automatique des langues, et le *Computational Humanities* est l’humanités numériques. Le projet *Gallic(orpor)a* se situait entre les deux, impliquant l’extraction des données et l’édition des documents historiques ainsi que l’analyse linguistique du texte extrait.

Le directeur de recherches d’ALMAnaCH est Benoît Sagot, qui s’est chargé de l’encadrement du stage du projet *Gallic(orpor)a*. En tant que stagiaire, je faisais partie de l’équipe entre début avril et fin juillet 2022. Pendant le stage, Rachel Bawden a animé un groupe de lecture hebdomadaire et des séminaires mensuelles dont j’ai profité dans

1. Marie CARLIN et Arnaud LABORDERIE. « Le BnF DataLab, Un Service Aux Chercheurs En Humanités Numériques ». In : *Humanités numériques* 4 (déc. 2021). URL : <https://hal-bnf.archives-ouvertes.fr/hal-03285816> (visité le 11/08/2022).

2. BIBLIOTHÈQUE NATIONALE DE FRANCE. *Rapport d’activité 2021 de la Bibliothèque nationale de France*. Paris, France, 1^{er} juill. 2022. URL : <https://www.bnf.fr/fr/bnf-rapport-dactivite-2021> (visité le 09/08/2022), p. 123.

3. Louis MARTIN et al. « CamemBERT : A Tasty French Language Model ». In : *Proceedings of the 58th Annual Meeting of the Association for Computational Linguistics*. ACL 2020. Online : Association for Computational Linguistics, juill. 2020, p. 7203-7219. DOI : 10.18653/v1/2020.acl-main.645. URL : <https://aclanthology.org/2020.acl-main.645> (visité le 11/08/2022).

l'intérêt de me tenir au courant sur les nouvelles recherches et les nouveaux enjeux du TAL. Elle a aussi développé un modèle TAL pour le projet *Gallic(orpor)a* et m'a instruit dans sa mise en œuvre.⁴ Disposée d'un bureau, j'ai travaillé en présentiel quatre jours par semaine, passant un jour toutes les semaines à l'École nationale des chartes pour travailler à côté de l'une des chefs du projet, Ariane Pinche. Chez Inria, j'ai profité de l'expertise de mes collègues de l'équipe ALMAAnaCH, en particulier Alix Chagué et Hugo Scheithauer. L'équipe entière de *Gallic(orpor)a* a aussi profité des serveurs d'Inria, qui prenaient en charge une partie de la puissance de calcul et du stockage de données pour l'interface graphique HTR *eScriptorium*.

École nationale des chartes et l'université de Genève

En tant qu'une école, contrairement à une équipe de recherche comme ALMAAnaCH, les rôles de l'École nationale des chartes et l'université de Genève dans le projet *Gallic(orpor)a* concernés l'encadrement des chercheurs qui y ont contribué leurs connaissances. L'École nationale des chartes (ENC) a aussi donné un lieu de travail, dont j'ai profité un jour par semaine. Ariane Pinche, qui était post-doctorante à l'École nationale des chartes, et Simon Gabay, maître-assistant à l'université de Genève, ils ont géré la mise en place du stage et des vacances que la bourse du Data Lab de la BnF a financés pour 2022. L'ENC et l'université de Genève les ont soutenu lors de l'encadrement des vacances et du stage.

Gabay, Pinche, et deux autres chercheurs qui étaient attachés à l'École nationale des chartes pendant le stage, Jean-Baptiste Camps et Thibault Clérice, ont tous contribué au projet *Gallic(orpor)a*. Gabay et Pinche se sont occupés de l'harmonisation des vérités de terrain produites par l'équipe en reliant toute transcription que les vacataires ont faite dans l'interface graphique *eScriptorium*. Pinche et Clérice ont commencé à utiliser les vérités de terrain des documents médiévaux en entraînant des nouveaux modèles de l'HTR et de la segmentation.⁵ Par rapport à la segmentation, Jean-Baptiste Camps, Pinche, et Gabay ont développé le syntaxe *SegmOnto* qui servait à harmoniser les vérités de terrain produites pour tout document dans le corpus d'entraînement, y compris les manuscrits et les imprimés.⁶ Bien que chaque chercheur ait ses spécialités, ils ont tous collaboré et la

4. Rachel BAWDEN et al. « Automatic Normalisation of Early Modern French ». In : LREC 2022 - 13th Language Resources and Evaluation Conference. 20 juin 2022. DOI : 10.5281/zenodo.5865428. URL : <https://hal.inria.fr/hal-03540226> (visité le 11/08/2022); Simon GABAY. *FreEM-corpora/FreEMnorm : FreEM Norm Parallel Corpus*. Zenodo, 17 jan. 2022. DOI : 10.5281/zenodo.5865428. URL : <https://zenodo.org/record/5865428> (visité le 11/08/2022).

5. Thibault CLÉRICE. *YALTAi : Segmonto Manuscript and Early Printed Book Dataset*. Zenodo, 10 juill. 2022. DOI : 10.5281/zenodo.6814770. URL : <https://zenodo.org/record/6814770> (visité le 12/08/2022).

6. Simon GABAY et al. « SegmOnto : Common Vocabulary and Practices for Analysing the Layout of Manuscripts (and More) ». In : *1st International Workshop on Computational Paleography (IWCP@ICDAR 2021)*. Lausanne, Switzerland, sept. 2021. URL : <https://hal.archives-ouvertes.fr/hal-03336528> (visité le 09/08/2022).

division des aspects du projet n'étaient pas aussi fermes qu'ils n'ont pas profité des idées de l'un et de l'autre.

2.2 La portée des données d'entraînement

Le projet *Gallic(orpor)a* visait à développer et mettre en pratique les modèles HTR pouvant traiter tout document français dans la base de données Gallica créée entre le XIV^e siècle et la révolution française. Un corpus des documents sources numérisés ainsi qu'une sélection de leurs pages à transcrire étaient choisis comme les données d'entraînement d'un tel modèle HTR. Les membres de ce corpus sont détaillés dans la section A.1 de l'appendice. Le choix se faisait en pensant à la diversité linguistique et à la diversité du genre. Comme montre la Figure 2.1, il y avait les manuscrits, les incunables, et les imprimés. De plus, chaque type de document a porté plusieurs genres littéraires, y compris la poésie, le récit, et le traité. Dans le cas des imprimés, il y avait aussi des pièces de théâtre.

Type	Genre	Siècle	Ecriture									
			Null		antiqua		cursive		gothique			
manuscrit	Poésie	13									■	2
		15									■	3
	Récit	13									■	7
		14									■	6
		15									■	6
		16									■	1
	Traité	14									■	1
incunable	Poésie	15									■	2
	Récit	15									■	5
		16									■	1
	Traité	15									■	2
		16									■	2
imprimé	Poésie	16									■	3
		17									■	7
		18									■	4
	Récit	16	■	1	■		2	■	1	■	2	
		17	■	1	■		9					
		18			■		6					
	Théâtre	16									■	2
		17									■	5
		18									■	3
	Traité	16									■	1
		17									■	3
		18									■	12

FIGURE 2.1 – Diversité linguistique et générique

Pour terminer, un autre souhait quant à la diversité du corpus a porté sur le lieu

de publication ou d'apparition du document, comme montre la Figure 2.2. La plupart des documents choisis de la base de données Gallica étaient sortis de Paris. Une autre partie importante est venue de Lyon. Il y avait aussi un effort d'inclure les manuscrits, les incunables, et les imprimés écrits en français qui sont venus des villes hors de la France, tel que Londres, Amsterdam, et Rome.



FIGURE 2.2 – Diversité géographique

Après avoir établi le corpus, les pages ciblées dans chaque document étaient transcrites par des vacataires en utilisant l'interface graphique *eScriptorium*, qui permet à la fois la transcription du texte et la segmentation de la page. La segmentation de la page se faisant en mettant les étiquettes précises sur les masques des lignes et les blocs de texte ; ces étiquettes suivaient le vocabulaire *SegmOnto*. Ensuite, les vérités de terrain produites avec l'interface graphique *eScriptorium* étaient transférées vers les dépôts Github du bon siècle. L'outil HTRVX du projet HTR-United a analysé toute transcription transférée. L'outil s'est alerté aux erreurs potentielles de la segmentation et il a facilité le nettoyage des données.

2.3 Les prédécesseurs du projet

Comme expliqué avant, *Gallic(orpor)a* a rassemblé les recherches de plusieurs projets précédents. Il a profité des glossaires codicologiques, des progrès dans la prédiction et la segmentation des documents, des progrès dans l'analyse linguistique, et des catalogues

des données. Le glossaire *SegmOnto* se servait à harmoniser les vérités de terrain pour les manuscrits et les imprimés transcrits. Les modèles HTR étaient à la fois un support à la production des vérités de terrain, en faisant en premier temps une transcription préliminaire, et le but du projet, étant de produire les modèles entraînés sur le vocabulaire *SegmOnto*. Le catalogue HTR-United, spécifiquement son outil *HTRVX*, a surveillé l’harmonisation des transcriptions produites comme des vérités de terrain.⁷ En outre, le catalogue HTR-United a publié gratuitement les vérités de terrain du projet *Gallic(orpro)a* pour que d’autres projets et d’autres modèles HTR puissent en profiter.⁸ Pour terminer, l’analyse linguistique était aussi un objectif du projet *Gallic(orpro)a*, et la mise en œuvre de cet aspect comptait sur les modèles de la langue française construits par les chercheurs de l’équipe ALMA_{na}CH.

Le glossaire codicologique

Le projet *Gallic(orpro)a* a harmonisé ses données selon le vocabulaire *SegmOnto*, qui est expliqué en détail dans le chapitre 3. Ayant géré les données produites selon cette codicologie, j’ai aussi contribué à l’élaboration et le perfectionnement du vocabulaire. La décision d’utiliser le syntaxe descriptif des lignes et des zones de *SegmOnto* a été prise bien en avance de la mise en œuvre du projet *Gallic(orpro)a*. La généralité du vocabulaire était déterminée d’être conforme à la diversité ciblée des documents traités dans le cadre du projet. Puisque *Gallic(orpro)a* visait à livrer un prototype d’un pipeline qui pourrait traiter tout document source numérisé, la généralisation des étiquettes appliquées aux lignes et aux zones était impérative, et le vocabulaire de *SegmOnto* était jugé la meilleure solution.

La segmentation et la prédiction du texte

Les progrès de la reconnaissance du texte sont expliqués en détail dans le chapitre 1. Un logiciel HTR commence par la segmentation de la page, et dès qu’il sait où se trouvent les caractères, les mots, et les lignes du texte il le prédit à partir de l’écriture. Ces deux tâches se font selon les compétences qu’il a appris lors de son entraînement. Dans le but de produire les vérités de terrain pouvant entraîner les modèles HTR pour les manuscrits, les incunables, et les imprimés dans la base de données Gallica, le projet *Gallic(orpro)a* a profité de l’expertise de Simon Gabay et d’Ariane Pinche, qui s’occupaient de la relecture des vérités de terrain et la gestion des corpus d’or.

7. Thibault CLÉRICE et Ariane PINCHE. *HTRVX, HTR Validation with XSD*. Version 0.0.1. Sept. 2021. DOI : 10.5281/zenodo.5359963. URL : <https://github.com/HTR-United/HTRVX> (visité le 12/08/2022).

8. Alix CHAGUÉ et Thibault CLÉRICE. « Sharing HTR Datasets with Standardized Metadata : The HTR-United Initiative ». In : Documents Anciens et Reconnaissance Automatique Des Écritures Manuscrites. 23 juin 2022. URL : <https://hal.inria.fr/hal-03703989> (visité le 12/08/2022).

Les progrès dans la prédiction du texte sur les imprimés de l’Ancien Régime ainsi que son analyse ont aidé le projet *Gallic(orpor)a*. Par rapport aux progrès dans l’OCR des imprimés françaises de l’Ancien Régime, Gabay a entraîné les modèles sur les vérités de terrain des imprimés du XVIe au XVIIIe siècle.⁹ En collaboration avec d’autres chercheurs, il a travaillé sur le jeu de données OCR17+ qui a fourni des vérités de terrain des imprimés du XVIIe siècle.¹⁰ Pour tester le pipeline, dans l’attente des modèles nouvellement entraînés sur les données produites dans le cadre de *Gallic(orpor)a*, j’ai utilisé un modèle de segmentation et un modèle d’HTR que Gabay a développé dans le cadre de son projet *E-ditiones*.¹¹

Pour la reconnaissance du texte sur les documents médiévaux, le projet CREMMA-Lab est clef. Géré dans le cadre des études postdoctorales d’Ariane Pinche, le Consortium Reconnaissance d’Écriture Manuscrite des Matériaux Anciens, ou CREMMA, est un dépôt des images et leurs transcriptions corrigées à la main, c’est-à-dire des vérités de terrain. Afin d’entraîner un modèle HTR, il faut un jeu des vérités de terrain.¹² Le projet CREMMA-Lab fournit un jeu des vérités de terrain de 13 manuscrits médiévaux qui se composent de 21 656 lignes de texte transcrites.¹³ Sur les données du projet, Pinche a entraîné un modèle HTR qui est désormais disponible sur Zenodo.¹⁴ Le projet *Gallic(orpor)a* en a profité pour aider à la création des vérités de terrain pour les manuscrits médiévaux de son propre jeu de données.

L’harmonisation et la partage des données

Le projet HTR-United mis en commun les vérités de terrain générées par tout projet *open source*.¹⁵ Sa base de données, gratuitement mise en ligne par GitHub, contient les images et leurs transcriptions faites par plusieurs projets de recherche, et elle porte sur les documents de plusieurs périodes historiques et écritures. Un modèle HTR peut être entraîné sur ces jeux de données. Par exemple, Alix Chagué a entraîné un modèle HTR

9. Simon GABAY et al. « Standardizing Linguistic Data : Method and Tools for Annotating (Pre-Orthographic) French ». In : *Proceedings of the 2nd International Digital Tools & Uses Congress (DTUC '20)*. Hammamet, Tunisia, oct. 2020. DOI : 10.1145/3423603.3423996. URL : <https://hal.archives-ouvertes.fr/hal-03018381> (visité le 12/08/2022).

10. Simon GABAY, Thibault CLÉRICE et Christian REUL. *OCR17 : Ground Truth and Models for 17th c. French Prints (and Hopefully More)*. Mai 2020. URL : <https://hal.archives-ouvertes.fr/hal-02577236> (visité le 12/08/2022).

11. Simon GABAY. *E-Ditiones, 17th c. French Sources*. Nov. 2018. URL : <https://hal.archives-ouvertes.fr/hal-02388415> (visité le 10/08/2022).

12. CHAGUÉ, CLÉRICE et ROMARY, « HTR-United ».

13. Ariane PINCHE et Jean-Baptiste CAMPS. « CremmaLab Project : Transcription Guidelines and HTR Models for French Medieval Manuscripts ». In : *Colloque "Documents Anciens et Reconnaissance Automatique Des Écritures Manuscrites"*. Paris, France, juin 2022. URL : <https://hal.archives-ouvertes.fr/hal-03716526> (visité le 10/08/2022).

14. Ariane PINCHE. « HTR model Cremma Medieval ». In : (21 juin 2022). DOI : 10.5281/zenodo.6669508. URL : <https://zenodo.org/record/6669508> (visité le 10/08/2022).

15. Alix CHAGUÉ et al. *HTR-United/Htr-United : V0.1.28*. Zenodo, 10 août 2022. DOI : 10.5281/zenodo.6979746. URL : <https://zenodo.org/record/6979746> (visité le 12/08/2022).

sur les vérités de terrain du *LECTAUREP Project*, soutenu par Inria et les Archives Nationales, qui sont mis en commun sur la base de données HTR-United.¹⁶

Dans l’esprit de la science ouverte, le projet *Gallic(orpor)a* a transféré toute vérité de terrain de ses dépôts GitHub vers le catalogue HTR-United. À la fin du stage, en juillet 2022, Ariane Pinche et Thibault Clérice ont entraîné un modèle pour les manuscrits médiévaux en utilisant les transcriptions que l’équipe du projet *Gallic(orpor)a* ont produites. Ces vérités de terrain sont désormais mises en commun sur HTR-United et Pinche et Clérice ont lié le premier modèle publié du projet *Gallic(orpor)a* avec le catalogue HTR-United et le dépôt du projet CREMMA (Consortium Reconnaissance d’Écriture Manuscrite des Matériaux Anciens).¹⁷ Le partage des données du projet est l’un de ses objectifs.

Ainsi qu’à contribuer au catalogue, le projet *Gallic(orpor)a* a aussi profité des outils de HTR-United. Le dernier met en commun des outils qui ont pour but d’harmoniser les données ajoutées à son catalogue. Ces outils peuvent être intégrés dans un *workflow* de GitHub, ce que l’équipe de *Gallic(orpor)a* a fait. L’un de ces outils est HTRVX, qui se prononce comme le personnage Asterix, et il a rendu possible à l’équipe du projet nettoyer les transcriptions sorties de *eScriptorium*.¹⁸ En exemple, HTRVX relit les transcriptions et les cherche pour les erreurs communes. L’existence d’un tel outil et sa disponibilité gratuite grâce au projet HTR-United a beaucoup aidé le projet *Gallic(orpor)a*.

L’analyse linguistique

Après l’extraction et le nettoyage des données des documents source de Gallica, le projet *Gallic(orpor)a* a envisagé à analyser le texte. Dans cet objectif, il a profité des progrès dans l’analyse linguistique des anciens états de la langue française. L’analyse linguistique du français de l’Ancien Régime, tel que ce qui se voit dans les écrits de Molière, est un domaine de recherche actuellement en plein développement. Depuis une dizaine d’années, les chercheurs dans la linguistique computationnelle ont élaboré des outils pour analyser le français autre que le français contemporaine, dont les recherches sont déjà animées par l’application commerciale et les jeux de données plus nombreuses.

L’histoire de l’analyse linguistique et du Traitement automatique des langues (TAL) est hors de ce mémoire. Néanmoins, les projets qui ont précédés *Gallic(orpor)a* et sur lesquels il a compté méritent de discussion. Achim Stein a bordé le sujet de l’analyse linguistique du français du Moyen Âge dans son article de 2013.¹⁹ Stein a montré que, pour les

16. Alix CHAGUÉ. *LECTAUREP Contemporary French Model (Administration)*. Zenodo, 12 mai 2022. URL : <https://zenodo.org/record/6542744> (visité le 12/08/2022).

17. Ariane PINCHE et Thibault CLÉRICE. *HTR-United/Cremma-Medieval : Cortado 2.0.0*. Zenodo, 11 juill. 2022. DOI : 10.5281/zenodo.6818057. URL : <https://zenodo.org/record/6818057> (visité le 12/08/2022).

18. CLÉRICE et PINCHE, *HTRVX, HTR Validation with XSD*.

19. Achim STEIN et Sophie PRÉVOST. *Syntactic Annotation of Medieval Texts : The Syntactic Reference Corpus of Medieval French (SRCMF)*. Narr Verlag, 2013, p. 275. ISBN : 978-3-8233-6760-4. URL : <https://halshs.archives-ouvertes.fr/halshs-01122079> (visité le 10/08/2022).

chercheurs qui ont débuté d'appliquer les progrès dans l'analyse linguistique à l'étude du français des anciens états, il faut faire attention aux propriétés syntaxiques et morphologiques propres à la langue. Du coup, une architecture qui pourrait parvenir aux résultats souhaités pour l'anglais du Moyen Âge n'aura pas forcément le même taux de réussite avec le français du Moyen Âge à cause de différences syntactiques et morphologiques dans la langue.

Achim Stein et Sophie Prévost ont créé un *treebank* pour l'ancien français, le *Syntactic Reference Corpus of Medieval French* (SRCMF), qui avance toujours l'analyse linguistique des anciens états du français.²⁰ En 2014, Prévost est des autres chercheurs, Gael Guibon, Isabelle Tellier, Matthieu Constant, et Kim Gerdes, ont ajouté aux conclusions de Stein que la variation lexicale de l'ancien français pose aussi un défi à l'analyse linguistique.²¹ En 2019, Mathilde Regnault, Prévost, et Éric Villemonte de La Clergerie ont utilisé le SRCMF avec le MCVF (Modéliser le changement : les voies du français) pour encore élaborer notre connaissance de l'évolution du français.²² Telles études linguistiques ont tourné la terre pour que l'analyse du texte extrait des manuscrits médiévaux et des imprimés historiques puissent voir le jour aujourd'hui.

Gallic(orpor)a a profité des progrès dans l'analyse linguistique du français historique utilisé dans les imprimés et les manuscrits de ses corpus. Jean-Baptiste Camps, Simon Gabay, Paul Fièvre, Thibault Clérice, et Florian Cafiero ont créé *Deucalion* qui est un modèle TAL pour le français de l'Ancien Régime, entraîné sur les livrets des drames du XVIIe siècle.²³ Encore plus récent est le projet *FREEEM* qui veut dire *French Early Modern*²⁴ Dans une présentation du projet à la conférence du Traitement Automatique des Langues Naturelles à Avignon en juin 2022, les auteurs ont décrit l'un des modèles qu'ils ont développé à partir de l'étude linguistique de l'ancien français.

L'étude de la langue ne nécessitant pas uniquement un seul outil, mais toute une gamme de solutions, nous avons adopté une approche holistique du pro-

20. Achim STEIN et Sophie PRÉVOST. *Syntactic Reference Corpus of Medieval French (SRCMF)*. Stuttgart : ILR University of Stuttgart, 2013. ISBN : 899-492-963-833-3. URL : <http://srcmf.org>.

21. Gaël GUIBON et al. « Parsing Poorly Standardized Language Dependency on Old French ». In : *Thirteenth International Workshop on Treebanks and Linguistic Theories (TLT13)*. Sous la dir. de V. HENRICH et al. Proceedings of the Thirteenth International Workshop on Treebanks and Linguistic Theories (TLT13). Tübingen, Germany, déc. 2014, p. 51-61. URL : <https://hal.archives-ouvertes.fr/hal-01250959> (visité le 10/08/2022).

22. Mathilde REGNAULT, Sophie PRÉVOST et Éric VILLEMONTÉ DE LA CLERGERIE. « Challenges of Language Change and Variation : Towards an Extended Treebank of Medieval French ». In : *TLT 2019 - 18th International Workshop on Treebanks and Linguistic Theories*. Paris, France, août 2019. URL : <https://hal.inria.fr/hal-02272560> (visité le 10/08/2022).

23. Jean-Baptiste CAMPS et al. « Corpus and Models for Lemmatisation and POS-tagging of Classical French Theatre ». In : *Journal of Data Mining & Digital Humanities 2021* (Digital humanities in... 14 fév. 2021), p. 6485. ISSN : 2416-5999. DOI : 10.46298/jdmh.6485. arXiv : 2005.07505 [cs]. URL : <http://arxiv.org/abs/2005.07505> (visité le 09/08/2022).

24. Simon GABAY et al. « Le Projet FREEEM : Ressources, Outils et Enjeux Pour l'étude Du Français d'Ancien Régime ». In : *TALN 2022 - Traitement Automatique Des Langues Naturelles*. Sous la dir. d'Yannick ESTÈVE et al. Avignon, France : ATALA, juin 2022, p. 154-165. URL : <https://hal.archives-ouvertes.fr/hal-03701524> (visité le 10/08/2022).

blème, en misant sur la création d’un modèle de langue dédié au français d’Ancien Régime, D’AleMBERT²⁵, qui devrait venir en soutien des différentes tâches de TAL envisagées.²⁶

Le développement des nouveaux modèles TAL pour les anciens états du français a rendu possible la mise en œuvre d’un tel étape d’analyse au pipeline de *Gallic(orpro)a*.

2.4 Le pipeline

Ainsi que la création des vérités de terrain, qui est expliqué dans la section précédente de ce chapitre (Section 2.2), le projet *Gallic(orpor)a* avait pour but de créer un pipeline pouvant traiter tout document source de la base de données Gallica. En mettant en œuvre les modèles entraînés, il visait à générer une ressource lexicographique qui porte sur le document source. En commençant par les pages numérisés du document source, la ressource numérique présentera quatre types d’information :

1. les métadonnées à propos du document source
2. les données topologiques et linguistiques prédites par *l’Handwritten Text Recognition* (HTR)
3. le texte pré-éditorialisé, extrait du document
4. le texte analysé par les outils Traitement automatique des langues (TAL)

Chaque type d’information veut servir une utilité différente que la lectrice éventuelle ou le lecteur éventuel de la ressource pourrait désirer. Les métadonnées s’informent sur trois types de document concerné par le pipeline : (1) la ressource lexicographique qu’il crée, (2) le fac-similé numérique du document source, (3) le document source physique qui se conserve quelque part, sinon qui a été conservé avant sa disparition. Les données produites par les modèles HTR présentent la segmentation de la mise en page et la prédiction du texte. Ensuite, le texte pré-éditorialisé est présenté, sans sa segmentation, d’une manière plus convenable à l’analyse linguistique. Et en fin, la ressource présente son analyse du texte prédit grâce à l’application de certains modèles TAL.

Une visualisation du pipeline se voit dans le Figure 2.3. Elle montre en bleu les saisies des données, en vert les fichiers préliminaires que le pipeline construit, en orange sa première sortie, et en violet les divers moyens d’exploitation de sa sortie. Puisque le pipeline va générer des métadonnées et les données topologiques et linguistiques, il a besoin d’au moins deux saisies des données. L’un porte sur les métadonnées des trois types de document concernés (la ressource lexicographique elle-même, le fac-similé numérique

25. Simon GABAY et al. « From FreEM to D’AleMBERT ». In : *Proceedings of the 13th Language Resources and Evaluation Conference*. Marseille, France : European Language Resources Association, juin 2022. URL : <https://hal.inria.fr/hal-03596653> (visité le 10/08/2022).

26. GABAY et al., « Le Projet FREEM ».

du document source, le document source physique). L'autre saisie des données est l'image numérique elle-même. La première saisie peut se composer de plusieurs sources de données en ligne, afin de fournir à la ressource lexicographique autant de détail que possible. La deuxième saisie se compose du fac-similé numérique dans le format simple des images numériques, tel que JPEG, TIFF, ou PNG.

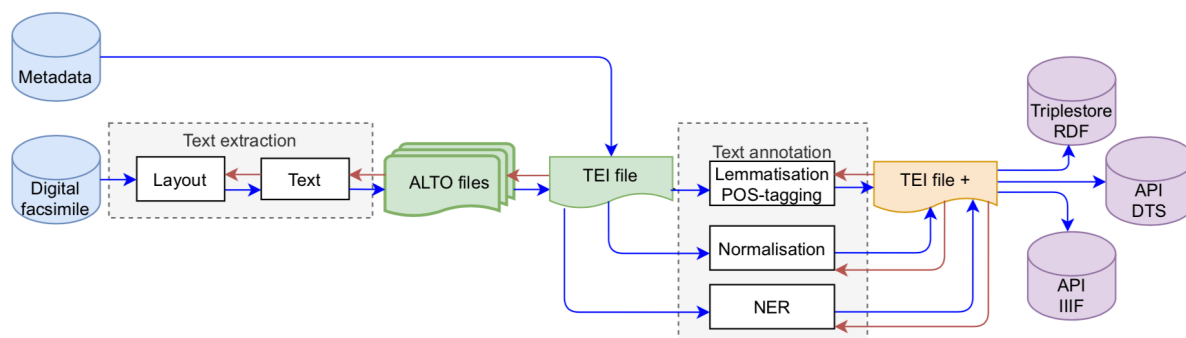


FIGURE 2.3 – Pipeline

En vert, la Figure 2.3 montre les premiers fichiers préliminaires créés par le pipeline, les fichiers ALTO. Ce format d'un fichier XML est un schéma particulièrement convenable à l'encodage de l'analyse de la mise en page que fait un modèle de segmentation et la prédiction du texte que fait un modèle HTR. Son acronyme veut dire en anglais *l'Analyzed Layout and Text Object*, ou la mise en page analysée et l'objet de texte. Comme se voit par la nature bipartite du nom *Analyzed Layout and Text Object*, les fichiers ALTO aligne la mise en page et le texte prédit. Le pipeline créé ce genre de fichier préliminaire en appliquant les modèles HTR aux données d'entrée visuelles.

Après la création des premiers fichiers préliminaires, le pipeline créé la première version du fichier TEI, qu'il va plus tard enrichir avec l'analyse linguistique du texte prédit. Ce premier fichier TEI occasionne la création des métadonnées. Comme montre la flèche bleue dans la Figure 2.3, les métadonnées sont récupérées depuis les sources en ligne et ensuite nettoyées et intégrées au fichier TEI. Le fichier TEI préliminaire récupère aussi les données des fichiers ALTO. Il est le combinaison de ces deux genres de données que rend le fichier TEI bien fait pour présenter toutes les données créés par le pipeline.

À la suite de la récupération, du nettoyage, et enfin de la transformation des données des deux sources pour les conformer au schéma TEI, le pipeline continue à traiter le texte qu'il a récupéré des fichiers ALTO. Le pipeline traite deux fois le texte prédit. En premier temps, il parse les données récupérées des fichiers ALTO et extrait toute ligne de texte imbriquée dans une zone qui fait partie du texte principal. Cela veut dire qu'il n'extrait pas de numéro de page, d'en-tête, etc. Les lignes de texte ainsi sélectionnées sont présentées comme le texte pré-éditorialisé du document source. Elles représentent une espèce de transcription du texte, en ignorant la mise en page et les autres types d'écriture sur la page qui sont communiqués autre part dans le fichier TEI.

Ce texte pré-éditorialisé peut servir à l'analyse d'une utilisatrice ou d'un utilisateur qui veut appuyer sur le texte tel qu'il était dans le document source. Ce texte sert aussi à la génération d'un texte analysé par les outils TAL. Le résultat de ce dernier traitement est visualisé dans la Figure 2.3 comme la sortie en orange, le fichier TEI enrichi, *TEI file* \neq . Pour terminer, les données de la sortie peuvent être exploitées dans plusieurs formats, que la Figure 2.3 visualise en violet.

Chapitre 3

Au commencement, il y avait les *guidelines SegmOnto*

3.1 La problématique

Un manuscrit se définit par ses moyens de création. Étant rédigé à la main, souvent avant la croissance de l'imprimerie, un manuscrit est un objet singulier dans le monde. Il est vrai que d'autres ressources peuvent présenter le même texte, les mêmes images, ou bien la même musique que présent un manuscrit. Cependant, un manuscrit n'a pas d'autre exemplaire. Ses contenus sont réalisés par et se répandent dans sa constitution matérielle particulière. Un manuscrit est unique avec son écriture, parfois de plusieurs mains, ses fautes d'écriture, ses parties abîmées, décorées, ou révisées, sa provenance et son histoire en tant qu'objet rare qui se transfère entre des individus, des familles, et des organisations. De plus, chaque propriétaire peut encore modifier la ressource en ajoutant ou retirant des pages, en corrigeant ou blâmant du texte ou des images, ainsi qu'en changeant la reliure et les informations portant sur l'édition.

Pour étudier un manuscrit, il faut donc développer un vocabulaire qui sait décrire les divers aspects de l'objet composé. Après tout, le pouvoir de bien définir les termes d'une étude est à la base de l'analyse. Sans un vocabulaire bien élaboré et cohérent, les arguments d'une chercheuse ou d'un chercheur ne seront pas compréhensibles. L'harmonisation d'un vocabulaire est encore plus importante eu égard à la communication des découverts et à la collaboration entre plusieurs personnes, surtout si elles ont des spécialités différentes. Ces deux activités, la communication et la collaboration, sont fondamentales à la recherche et exigent donc l'élaboration d'un vocabulaire cohérent pour décrire des manuscrits.

Voici les défis de nommage dans l'étude des manuscrits et voici l'un des obstacles que le projet *Gallic(orpor)a* a essayé de franchir. Imaginons, par exemple, qu'on veut décrire le texte principal qui se trouve sur la page d'un document. On peut y appliquer l'étiquette descriptive *Main Zone* ou bien *Principal Text*. En lisant des articles scientifiques où cha-

cun utilise une étiquette différente, un humain arriverait à reconnaître que les étiquettes différentes parlent de la même partie de la page. Mais pour un outil informatique, si la même région d'une page ne porte pas la même étiquette, il n'arriverait pas à les associer sans être instruit à chercher plusieurs versions du même concept. Dans ce cas, l'analyse serait trop compliquée à effectuer à l'échelle. C'est ainsi que la description des manuscrits est importante au projet *Gallic(orpor)a*. Le projet *Gallic(orpor)a* cherchait donc à profiter d'un vocabulaire bien élaboré et cohérent, qui pourrait décrire soit les manuscrits, soit les imprimés historiques. Il y avait plusieurs projets qui avaient cherché à répondre à cette problématique, mais celui que le projet *Gallic(orpor)a* a choisi est le vocabulaire du projet *SegmOnto*.

3.2 Les solutions proposées

Plusieurs projets avaient proposé des solutions quant à la description normalisée des manuscrits. Hors de la France, les vocabulaires ont été élaborés notamment en anglais et pour les manuscrits médiévaux. Un exemple important est la base de données *DigiPal* (Digital Resource and Database of Palaeography, Manuscripts and Diplomatic), qui n'est plus mis à jour mais qui a été développé au sein du département des humanités numériques à King's College London.¹ L'un de ses auteurs, Peter Stokes, travaille actuellement en France et continue dans la même veine en contribuant au projet *SegmOnto* qui était développé dans un environnement francophone, même si son vocabulaire est rédigé en anglais.² Mais le projet *SegmOnto* n'est pas le premier projet français qui a essayé d'élaborer un lexique pour les documents historiques. Ni est le projet *DigiPal* le premier en Europe. Avant leur création, la codicologie en France et en Europe suivait le modèle de Denis Muzerelle et son *Vocabulaire codicologique*.

3.2.1 Le Vocabulaire international de la codicologie

En 1985, Denis Muzerelle a conçu un vocabulaire codicologique qui avait pour but de fournir des médiévistes avec des termes uniformes pouvant décrire les aspects d'un manuscrit.³ Depuis l'apparition de son vocabulaire en français, des autres chercheurs sont venus pour adapter les termes de Muzerelle en d'autres langues. Marilena Maniaci

1. *DigiPal : Digital Resource and Database of Palaeography, Manuscripts and Diplomatic*. London, été 2011. URL : <http://www.digipal.eu/>.

2. Simon GABAY, Jean-Baptiste CAMPS et Ariane PINCHE. « SegmOnto ». In : *Création de Modèle(s) HTR Pour Les Documents Médiévaux En Ancien Français et Moyen Français Entre Le Xe-XIVe Siècle*. Paris, France : Ecole nationale des chartes | PSL, nov. 2021. URL : <https://hal.archives-ouvertes.fr/hal-03481089> (visité le 25/07/2022).

3. Dennis MUZERELLE. *Vocabulaire Codicologique : Répertoire Méthodique Des Termes Français Relatifs Aux Manuscrits*. Rubricae 1. Paris : Éd. Cemi, 1985.

a publié une version du *Vocabulaire codicologique* pour l'italien en 1996.⁴ Pilar Ostos, Luisa Pardo, et Elena Rodríguez en ont créé un pour l'espagnol l'année suivante.⁵ Parfois appelé le *Vocabulaire international de la codicologie*, l'édition multilingue du *Vocabulaire codicologique* que Muzerelle a commencé en 1985 était maintenue jusqu'à l'édition d'une version 1.1. en 2002-2003. (besoin de citation)

3.2.2 La Codicologia

Aujourd'hui, la paléographie et l'étude des manuscrits peuvent profiter de l'application web *Codicologia* qui réunit le *Vocabulaire codicologique* ainsi que deux autres bases de données similaires : le projet multilingue *Lexicon* et le *Glossaire codicologique arabe*. Ses trois bases de données spécialisent dans divers écritures. Le *Vocabulaire codicologique* a été développé pour les manuscrits de l'écriture latin. Piloté par Philippe Bobichon, le projet *Lexicon* présente un vocabulaire en français pour décrire les manuscrits écrits en latin, roman, grec, hébreu, et arabe.⁶ Un vocabulaire spécialisé plus profondément pour l'arabe a été élaboré dans le *Glossaire codicologique arabe* d'Anne-Marie Eddé et Marc Geoffroy.⁷ Ce dernier a été conçu au sein de l'Institut de recherche et d'histoire des textes après les modèles de Muzerelle et le vocabulaire codicologique en arabe d'Adam Gacek.⁸

L'application web *Codicologia* rassemblent ces projets et présente un vocabulaire bien étendu. Par exemple, *Codicologia* fournit 15 termes pour décrire une faute d'écriture dans un manuscrit. Certains de ses termes possèdent eux-même plusieurs définitions que les divers bases de données fournissent. Le terme *caviarder*, par exemple, a une définition courte dans le vocabulaire français de Muzerelle.

Supprimer un mot, un passage..., en le recouvrant largement d'encre, de façon à ce qu'il ne puisse être lu.⁹

Selon le *Lexicon* de Bibichon, par contre, le *caviarder* se définit d'une manière plus détaillé et vise à expliquer l'étymologie du mot afin de préciser son usage dans le cadre des manuscrits des divers écritures.

4. Marilena MANIACI. *Terminologia Des Libro Manoscritto*. Addenda 3. Rome : Istituto centrale per la patologia del libro, 1996.

5. Pilar OSTOS, M. Luisa PARDO et Elena E. RODRÍGUEZ. *Vocabulario de codicología : Versión Española Revisada y Aumentada Del Vocabulaire Codicologique*. Instrumenta Bibliologica. Madrid : Arco/Libros, 1997.

6. Philippe BOBICHON. « Le Lexicon : Mise En Page et Mise En Texte Des Manuscrits Hébreux, Grecs, Latins, Romains et Arabes ». In : (2009), p. 81. URL : <https://cel.archives-ouvertes.fr/cel-00377671> (visité le 25/07/2022).

7. « Glossaire codicologique français-arabe ». In : *Gazette du livre médiéval* 40.1 (2002), p. 79-80. URL : https://www.persee.fr/doc/galim_0753-5015_2002_num_40_1_1563 (visité le 25/07/2022).

8. Adam GACEK. *The Arabic Manuscript Tradition : A Glossary of Technical Terms and Bibliography*. Handbook of Oriental Studies 1, The Near and Middle East. Leiden : Brill, 2001. 269 p. ISBN : 90-04-12061-0.

9. Denis MUZERELLE. *Caviarder*. In : *Codicologia*. Institut de recherche et d'histoire des textes, 2011. URL : http://codicologia.irht.cnrs.fr/theme/liste_theme/413#tr-868 (visité le 25/07/2022).

Le mot [*caviarder*] apparaît en 1907 (noircir à l'encre) : il désigne alors un procédé appliqué par la censure russe, sous Nicolas Ier. Dans certains manuscrits grecs, le détail rempli d'encre est surmonté d'un point et d'un trait court destinés à le neutraliser. Ce procédé est très souvent utilisé parmi d'autres, pour la censure des manuscrits hébreux effectué sous l'autorité de l'inquisition, en Italie, à la fin du xvie siècle et au début du xvii^e.¹⁰

Étant élaboré à partir d'un corpus très diversifié, le *Lexicon* de Bibichon a moins de termes qu'a le *Vocabulaire codicologique* mais ses termes sont plus généralisés. Le vocabulaire de Muzerelle, par contre, fait plus de distinctions entre les aspects d'un manuscrit et donc a plus de termes distincts par rapport aux deux autres vocabulaires de l'application *Codicologia*.

En réunissant les trois bases de données, sans privilégier aucun, *Codicologia* présente un vocabulaire codicologique vraiment vaste. Cependant, l'application *Codicologia*, comme toutes ses bases de données, vise à répondre au manque de cohérence dans la manière par laquelle la communauté scientifique décrit les manuscrits. Le grandeur de son vocabulaire pose un problème à cet objectif. Ayant plus de deux milles termes en français—certains d'entre eux ont eux-même plusieurs définitions—la solution proposée par *Codicologia* livre un vocabulaire bien harmonisé et documenté mais trop étendu pour être appliqué à l'échelle dans une approche informatique.

Sans un corpus d'entraînement gigantesque, qui coûterait une somme énorme, l'apprentissage automatique ne peut pas faire de distinction au niveau des termes conçus par Muzerelle et les autres auteurs des bases de données de *Codicologia*. Aujourd'hui, un modèle ne peut pas s'entraîner sur des milles des étiquettes possibles et arriver à distinguer entre, par exemple, 15 types de faute d'écriture. Un humaine peut le faire, et pour cette raison les bases de données de *Codicologia* sont utiles. Mais leurs vocabulaires ne conviennent pas bien à une approche informatique.

3.3 Les *guidelines* de *SegmOnto*

Le projet *SegmOnto* propose un vocabulaire plus petit qui peut pourtant décrire une grande diversité de documents historiques, y compris les manuscrits et les imprimés. Cet objectif est encore plus compliqué à achever qu'un vocabulaire spécialisé aux manuscrits. Décrire les documents d'une diachronie longue, et sans préférence d'une écriture en particulier, exige un équilibre délicat entre la généralité et la particularité. Pour y arriver, les *guidelines* du projet *SegmOnto* limite le nombre de termes dans son vocabulaire, sans en priver aucun d'une identité distincte.

10. Philippe BOBICHON. *Caviarder*. In : *Codicologia*. Institut de recherche et d'histoire des textes, 2011. URL : http://codicologia.irht.cnrs.fr/theme/liste_theme/413#tr-868 (visité le 25/07/2022).

Les *guidelines* se divisent en deux catégories : les « zones » et les « lignes ». La première parle des régions sur la page, y compris les régions de texte et les régions sans texte, tel qu'une image. Pour la plupart de temps, la catégorie de la ligne veut décrire les différents types de lignes de texte. Mais une ligne du vocabulaire *SegmOnto* peut aussi tracer la ligne d'une partition musicale ou une ligne réelle sur la page qui n'oriente pas des autres systèmes d'écriture, telle qu'une ligne qui divise la page en deux. Chacune de ces deux catégories se compose d'une liste des étiquettes, et chacune d'elles cherche à parvenir à l'équilibre entre la généralité et la particularité. Une étiquette devrait pouvoir être appliquée à soit un manuscrit, soit un imprimé, de peu importe quelle langue et quelle écriture.

3.3.1 Les zones

- **CustomZone** : une zone qui ne convient pas à aucune d'autres catégories de zone.
- **DamageZone** : une zone qui contient des marques de dégâts sur le document source, tel qu'un trou.
- **DecorationZone** : une zone qui contient un élément graphique, y compris de la peinture et les petits dessins dans la marge de la page.
- **DigitizationArtefactZone** : une zone qui contient un item qui n'appartient pas au document source mais est lié au processus de la numérisation, tel qu'une règle pour montrer la mesure du document.
- **DropCapitalZone** : une zone qui contient une initiale ; l'initiale peut prendre l'espace de plusieurs lignes de texte ou porter une décoration importante, tel que de l'historicisation, l'ornementation, ou des dessins.
- **MainZone** : une zone qui contient le texte principal du document source.
- **MarginTextZone** : une zone qui contient le texte dans la marge du document source.
- **MusicZone** : une zone qui contient une partition musicale.
- **NumberingZone** : une zone qui contient des numéros de page, y compris les numéros rédigés en chiffres romans.
- **QuireMarksZone** : une zone qui contient des notes en bas page destinées à la fabrication du document source pour garder les pages dans le bon ordre.
- **RunningTitleZone** : une zone qui contient une version du titre du document ou d'une section du document qui se trouve en tête de la page.
- **SealZone** : une zone qui contient un sceau sur le document source.
- **StampZone** : une zone qui contient l'empreint d'un tampon sur le document source.
- **TableZone** : une zone qui contient une table.

- **TitlePageZone** : une zone souvent sur l'une des premières pages du document source qui contient toutes les informations concernant le titre et l'édition du document.

3.3.2 Les lignes

- **CustomLine** : une ligne qui ne convient pas à aucune d'autres catégories de ligne.
- **DefaultLine** : une ligne qui contient du texte attendu dans la zone.
- **DropCapitalLine** : une ligne qui contient l'initiale.
- **HeadingLine** : une ligne qui contient le texte d'un titre, tel que celui d'une section ou d'un chapitre.
- **InterlinearLine** : une ligne qui traverse la page pour marquer une limite.
- **MusicLine** : une ligne de la portée d'une partition.

Deuxième partie

Exposition de la préparation et du travail d'analyse

Chapitre 4

Un pipeline visant à tout rassembler

4.1 La reconnaissance du texte et des segments

Le premier étape du pipeline *Gallic(orpor)a* est la reconnaissance du texte sur les images numérisées. Pour arriver d'un rassemblement de pixels au caractère d'un système d'écriture, il faut un modèle HTR qui sait chercher dans les pixels les configurations des caractères. Avec la reconnaissance de texte, il faut un deuxième modèle qui sait reconnaître les régions cohérentes sur la page. Ce dernier modèle cherchent aussi dans les pixels pour les configurations consistantes, mais au lieu de reconnaître dedans des caractères, il relève les polygones ou les rectangles qui contient une entité cohérente.

4.1.1 La création des données d'entraînement

Le pipeline a besoin d'une structure de fichier rigide qu'il construit lors de la récupération des images depuis l'API de la BnF. Sinon, l'utilisatrice ou l'utilisateur doit l'imiter en appuyant sur ses propres images numériques d'un document source. Mais les images doivent être disponible en ligne par l'API de *l'International Image Interoperability Framework* (IIIF) pour que les métadonnées de la source de l'image soient encodées et accessibles par la requête.

```
data/
|___ARK1/
|       |___image1.jpg
|       |___image2.jpg
|       |___image3.jpg
...
|___ARK2/
|       |___image1.jpg
|       |___image2.jpg
```

```
|      |____image3.jpg  
...
```

Toute image numérique doit se trouver dans un dossier qui porte comme nom l'identifiant ARK (*Archival Resource Key*) du document source. Cette clef est importante pour la diffusion et le requêtage des images numériques par les APIs IIIF. Le pipeline a aussi besoin de cette clef ainsi que de l'association évidente entre elle et les images qui appartiennent au document, qui se donne grâce à la structure de fichier.

Avec cet identifiant ARK, donné par la structure de fichier, le pipeline récupère les métadonnées du document source. Il recherche les informations sur le document source en passant une requête à l'API de l'image IIIF ; cet API est maintenu par l'institution patrimoniale qui se charge de la conservation et/ou de la diffusion en ligne du document. Les métadonnées récupérées de l'API IIIF, gérées par l'institution hôte du document numérique, sont liées—si possible—avec des autres sources de données. Dans l'exemple des documents numériques de la base de données Gallica, le pipeline récupère les métadonnées quant au document source depuis l'API IIIF que la BnF met à disposition. Si cette requête a réussi, le pipeline va récupérer les données du catalogue général de la BnF en passant une requête à l'API *SRU* de la BnF qui veut dire, en anglais, le *Search/Retrieve via URL*. Pour terminer, le pipeline recherche encore des métadonnées dans le catalogue du Système Universitaire de Documentation (SUDOC).

4.1.2 L'entraînement des modèles

4.1.3 Les modèles prédisent le texte

4.2 La reconstitution des données

4.3 L'analyse linguistique

4.3.1 La création des données d'entraînement

4.3.2 L'entraînement des modèles

4.3.3 Les modèles analysent le texte prédit

4.4 Le texte pré-édité

Chapitre 5

L'analyse des structures des données XML

5.1 XML-ALTO

5.1.1 Qu'est-ce qu'est le format ALTO ?

Décrire la création, le suivi, et l'objectif du format XML ALTO : enregistrer les infos sur la structure d'une image segmentée.

5.1.2 La structure des fichiers XML-ALTO

Montrer la structure des données d'un fichier ALTO dans les deux formats qui sortent de Kraken : (1) ligne de texte encodé dans la balise `<TextLine>`, qui sort de Kraken via l'interface d'eScriptorium, et (2) ligne de texte encodé au niveau du glyph, qui sort directement de la ligne de commande de Kraken.

5.2 XMI-TEI

5.2.1 Qu'est-ce qu'est la TEI ?

Décrire la création, le suivi, et l'objectif de la TEI.

5.2.2 Les éléments de base de la TEI

Expliquer qu'il y a deux éléments essentiels de la racine, le `<teiHeader>` et le `<body>`. Ensuite expliquer l'utilité de l'élément facultatif `<sourceDoc>` et expliquer pourquoi il convient bien aux données de structure d'un fichier ALTO.

Chapitre 6

À la recherche des métadonnées

6.1 Uniquement l'essentiel

6.1.1 Documents de divers types et de plusieurs époques

Expliquer le défi de modéliser un `<teiHeader>` qui est à la fois assez généralisé pour convenir aux divers documents et assez précisé pour servir aux utilisateurs et à la recherche.

6.1.2 Exemples des métadonnées souhaitées

Donner un exemple des métadonnées d'un imprimé (cf. fig. 6.1) :

```
1 <sourceDesc>
2   <biblStruct>
3     <monogr>
4       <author xml:id="author">
5         <persName>
6           <surname>Balzac</surname> <!-- auteur -->
7           <forename>Honoré</forename>
8         </persName>
9       </author>
10      <title>The Wild Ass's Skin</title> <!-- titre -->
11      <editor role="translator">Ellen Marriage</editor>
12      <editor role="preface">George Saintsbury</editor>
13      <pubPlace key="FR">Paris</pubPlace>
14      <imprint>
15        <pubPlace>London</pubPlace> <!-- lieu de publication -->
16        <publisher>Dent</publisher> <!-- éditeur -->
17        <date when="1906">1906</date> <!-- date de publication -->
18      </imprint>
19    </monogr>
20  </biblStruct>
```

FIGURE 6.1 – Exemple des métadonnées d'un imprimé encodées en TEI (emprunté de teibyexample.org – à changer)

Et donner un exemple d'un incunable (cf. fig. 6.2) :

```

1 <sourceDesc>
2   <msDesc>
3     <msContents>
4       <biblStruct>
5         <monogr>
6           <author xml:id="author">
7             <persName>
8               <surname>Tory</surname> <!-- auteur -->
9               <forename>Geoffroy</forename>
10            </persName>
11          </author>
12          <title>Champ fleury</title> <!-- titre -->
13          <imprint>
14            <pubPlace>Paris</pubPlace> <!-- lieu de publication / lieu d'
apparition -->
15            <publisher>
16              <persName>
17                <surname>Gourmont</surname> <!-- éditeur -->
18                <forename>Gilles de</forename>
19              </persName>
20            </publisher>
21          </imprint>
22        </monogr>
23      </biblStruct>

```

FIGURE 6.2 – Exemple des métadonnées d'un incunable encodées en TEI (emprunté du cours TEI de J-B Camps 2015 – à changer)

Expliquer comment l'objectif du projet *Gallic(orpor)a* de traiter des documents d'une diachronie longue pose un défi à la récupération et encodage généralisée des métadonnées.

6.2 Où se trouvent les métadonnées des sources de Gallica

Présenter les deux sources de métadonnées ciblées par l'application `alto2tei`.

6.2.1 L'IIIF Image API

L'API du manifest IIIF contient des données rudimentaires sur le document. Elles sont envoyées dans un format JSON. Donner un exemple (cf. fig. 6.3) :

6.2.2 L'API SRU de la BnF

L'API du catalogue général de la BnF contient des données bien précises sur le document. Elles sont envoyées dans un format XML-Unimarc. Donner un exemple (cf. fig. 6.4).

```

1 {"Metadata":
2   {
3     "Label": "Title",
4     "Value": "The Wild Ass's Skin", # titre
5
6     "Label": "Creator",
7     "Value": "Honoré Balzac" # auteur
8   }
9 }

```

FIGURE 6.3 – Exemple des métadonnées envoyées par l'API IIIF

```

1 <mx:datafield tag="200" ind1="1" ind2=" ">
2   <mx:subfield code="a">The Wild Ass's Skin</mx:subfield> <!-- titre --
3   >
4   <mx:subfield code="b">Texte imprimé</mx:subfield>
5 </mx:subfield>
6 <mx:subfield code="a">Londres</mx:subfield> <!-- lieu de publication
7   -->
8   <mx:subfield code="c">Dent</mx:subfield> <!-- éditeur -->
9   <mx:subfield code="d">1906</mx:subfield> <!-- date de publication -->
10 </mx:subfield>
11 [...]
12 <mx:subfield code="a">Balzac</mx:subfield> <!-- auteur -->
13 <mx:subfield code="b">Honoré</mx:subfield>
14 </mx:subfield>

```

FIGURE 6.4 – Exemple des métadonnées envoyées par l'API SRU de la BnF

6.3 Une solution

Présenter les métadonnées du document qu'on a déterminé d'être essentielle / assez généralisées parmi les divers types de document.

Troisième partie

Mise en opérationnelle du projet

Chapitre 7

La génération du <teiHeader>

7.1 La récupération des données

Parler de la récupération des données depuis les deux APIs discutés (cf. fig. ??) ainsi que le fichier YAML de configuration.

7.1.1 Du manifest IIIF à un dictionnaire Python

Montrer le mapping des données du manifest au dictionnaire Python.

7.1.2 De l'Unimarc à un dictionnaire Python

Montrer le mapping des données du catalogue au dictionnaire Python.

7.2 L'analyse des données

Parler de la stratégie d'atténuation des risques en sélectionnant les données fiables. Les métadonnées du catalogue général de la BnF sont utilisées uniquement si le même exemplaire physique du document numérisé sur Gallica a bien été trouvé. Sinon, on risque de mettre les données d'un autre exemplaire de l'oeuvre que celui qui a été transcrit et donc introduire des fausses données, tel que le cote ou même l'éditeur et la date de publication de l'exemplaire.

7.3 Le modèle du <teiHeader>

Montrer le mapping des données au <teiHeader>.

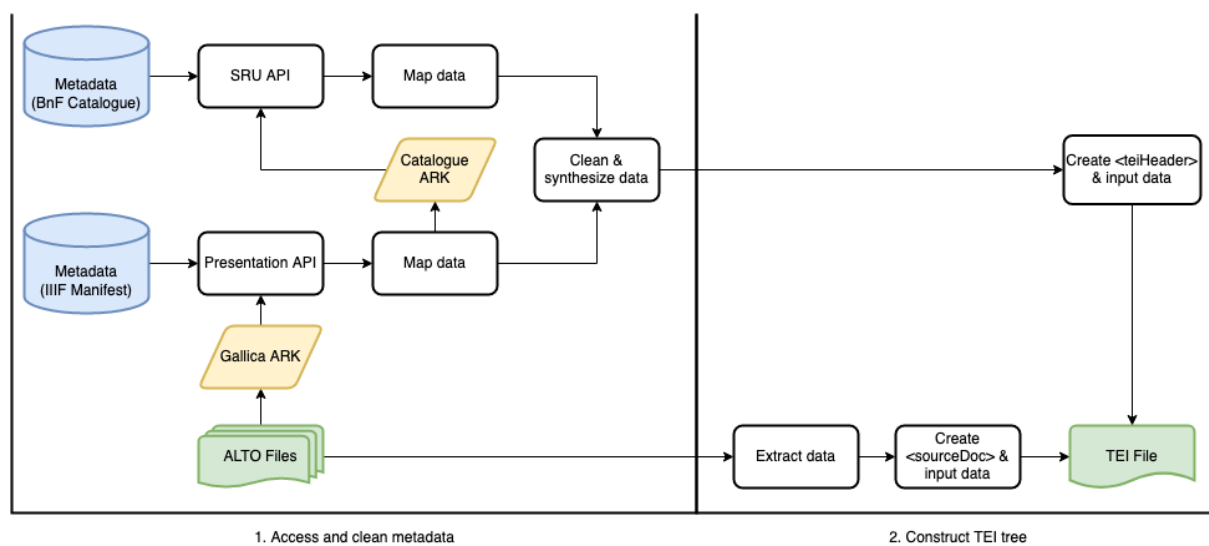


FIGURE 7.1 – Workflow

Chapitre 8

La modélisation de la <sourceDoc>

8.1 Le modèle du <sourceDoc>

Montrer le mapping des données prédites par les modèles HTR et segmentation vers les éléments TEI de la <sourceDoc>.

8.1.1 Niveau de la ligne de texte

Des exemples / tables ...

8.1.2 Niveau d'un mot ou d'une espace

Des exemples / tables ...

8.1.3 Niveau du glyphe

Des exemples / tables ...

8.2 Documenter ce modèle dans l'ODD

Présenter le travail d'avoir écrit l'ODD *SegmOnto-Gallicorpora*.

Chapitre 9

Les données textuelles produites

9.1 La génération du `<body>` grâce au lexique *SegmOnto*

Expliquer comment j’ai généré le `<body>` en prenant les lignes de texte de la `<sourceDoc>` selon leurs étiquettes.

9.2 L’analyse linguistique

Parler d’un travail futur qui pourra prendre le fichier XML-TEI que j’ai créé et extraire les lignes de texte du `<body>` et les passer aux modèles TAL pour faire des analyses linguistiques. Montrer un exemple de ces données et comment cela marcherait avec un travail préliminaire que j’aurai fait d’ici la fin de stage et/ou le travail d’un ancien stagiaire que j’ai appliquée aux données Gallic(orpor)a.

Conclusion

Annexe A

Données

A.1 Portée des données d'entraînement

Type	Genre	Forme	Écriture	Siècle	Langue	Titre
manuscrit	poésie	vers	gothique	13	fro	Français 20050 - chansonnier de Saint-Germain-des-Près
manuscrit	récit	prose	gothique	13	fro	Français 23117, légendier
manuscrit	récit	prose	gothique	13	fro	Français 6447, légendier
manuscrit	récit	prose	gothique	13	fro	NAF 23686, légendier
manuscrit	récit	prose	gothique	13	fro	Français 13496, légendier
manuscrit	récit	vers	gothique	13	fro	Français 860 - Roland, Gaydon, Ami et Amile, Jourdain de Blaye, Auberi le Bourguignon
manuscrit	récit	vers	gothique	13	fro	Français 12615 - chansonnier de Noailles
manuscrit	récit	vers	gothique	13	fro	Français 1443 - Garin le Loherain (C) et Girbert de Metz
						Français 12603 - Fierabras, mais aussi Chevalier as deux espèces

Glossaire

CREMMALab Consortium pour la reconnaissance d’’écriture manuscrite des matériaux anciens. 25

Handwritten Text Recognition La reconnaissance du texte écrit sur une image numérique. 3

HTR-United HTR-United is a catalog and an ecosystem for sharing and finding ground truth for optical character or handwritten text recognition (OCR/HTR). 23–26

Inria Institut national de recherche en sciences et technologies du numérique. 19–21, 26

International Image Interoperability Framework Normes internationales de l’exploitation des images numériques et de leurs métadonnées par API. 39

Optical Character Recognition La reconnaissance des polices du texte sur une image numérique. 6

École nationale des chartes Grande école bla bla bla. 21

Acronymes

ALMAnaCH Automatic Language Modelling and Analysis & Computational Humanities. 20, 21, 24

ALTO Analyzed Layout and Text Object. i, 29

BnF Bibliothèque nationale de France. i, 19–21, 39, 40

CREMMA Consortium Reconnaissance d’Écriture Manuscrite des Matériaux Anciens. 25, 26

ENC École nationale des chartes. 21

HTR Handwritten Text Recognition. i, 3–9, 13–16, 19, 21, 22, 24, 25, 28, 29

IIIF International Image Interoperability Framework. 39, 40

Inria Institut national de recherche en sciences et technologies du numérique. 20

OCR Optical Character Recognition. i, 6–13, 25

TAL Traitement automatique des langues. 14, 19–21, 26–28, 30

TEI Text Encoding Initiative. i, 29, 30

XML eXtensible Markup Language. 29

Table des figures

1.1	Une couleur par pixel	4
1.2	Donnée tripartite portant sur le degré du rouge, du vert, et du bleu	4
1.3	Processus d'un logiciel HTR	5
1.4	Évaluation des pixels	9
1.5	Histogramme des valeurs niveau de gris des pixels	10
1.6	La binarisation	11
1.7	La matrice d'un caractère	12
1.8	La visualisation d'époch 1	16
2.1	Diversité linguistique et générique	22
2.2	Diversité géographique	23
2.3	Pipeline	29
6.1	Exemple des métadonnées d'un imprimé encodées en TEI	43
6.2	Exemple des métadonnées d'un incunable encodées en TEI	44
6.3	Exemple des métadonnées envoyées par l'API IIIF	45
6.4	Exemple des métadonnées envoyées par l'API SRU de la BnF	45
7.1	Workflow	50

Liste des tableaux

Table des matières

Résumé	i
Remerciements	iii
Introduction	v
I Présentation du projet	1
1 Qu'est-ce que l'HTR ?	3
1.1 Le fonctionnement général de l'HTR	3
1.1.1 L'image numérique	3
1.1.2 Les tâches d'un logiciel HTR	4
1.2 Les origines de l'HTR	6
1.2.1 L'algèbre linéaire, les matrices, et l'intelligence artificielle	9
1.3 Le modèle HTR	13
1.3.1 Les données d'entrée	14
1.3.2 Les données d'entraînement	14
1.3.3 L'entraînement	14
1.3.4 Le résultat de l'entraînement	16
2 Le rêve du projet <i>Gallic(orpor)a</i>	19
2.1 Le contexte du projet	20
2.2 La portée des données d'entraînement	22
2.3 Les prédécesseurs du projet	23
2.4 Le pipeline	28
3 Au commencement, il y avait les <i>guidelines SegmOnto</i>	31
3.1 La problématique	31
3.2 Les solutions proposées	32
3.2.1 Le Vocabulaire international de la codicologie	32
3.2.2 La Codicologia	33

3.3	Les <i>guidelines</i> de <i>SegmOnto</i>	34
3.3.1	Les zones	35
3.3.2	Les lignes	36
II	Exposition de la préparation et du travail d'analyse	37
4	Un pipeline visant à tout rassembler	39
4.1	La reconnaissance du texte et des segments	39
4.1.1	La création des données d'entraînement	39
4.1.2	L'entraînement des modèles	40
4.1.3	Les modèles prédisent le texte	40
4.2	La reconstitution des données	40
4.3	L'analyse linguistique	40
4.3.1	La création des données d'entraînement	40
4.3.2	L'entraînement des modèles	40
4.3.3	Les modèles analysent le texte prédit	40
4.4	Le texte pré-édité	40
5	L'analyse des structures des données XML	41
5.1	XML-ALTO	41
5.1.1	Qu'est-ce qu'est le format ALTO ?	41
5.1.2	La structure des fichiers XML-ALTO	41
5.2	XMI-TEI	41
5.2.1	Qu'est-ce qu'est la TEI ?	41
5.2.2	Les éléments de base de la TEI	41
6	À la recherche des métadonnées	43
6.1	Uniquement l'essentiel	43
6.1.1	Documents de divers types et de plusieurs époques	43
6.1.2	Exemples des métadonnées souhaitées	43
6.2	Où se trouvent les métadonnées des sources de Gallica	44
6.2.1	L'IIIF Image API	44
6.2.2	L'API SRU de la BnF	44
6.3	Une solution	45
III	Mise en opérationnelle du projet	47
7	La génération du <teiHeader>	49
7.1	La récupération des données	49

7.1.1	Du manifest IIIF à un dictionnaire Python	49
7.1.2	De l'Unimarc à un dictionnaire Python	49
7.2	L'analyse des données	49
7.3	Le modèle du <code><teiHeader></code>	49
8	La modélisation de la <code><sourceDoc></code>	51
8.1	Le modèle du <code><sourceDoc></code>	51
8.1.1	Niveau de la ligne de texte	51
8.1.2	Niveau d'un mot ou d'une espace	51
8.1.3	Niveau du glyphe	51
8.2	Documenter ce modèle dans l'ODD	51
9	Les données textuelles produites	53
9.1	La génération du <code><body></code> grâce au lexique <i>SegmOnto</i>	53
9.2	L'analyse linguistique	53
	Conclusion	55
A	Données	57
A.1	Portée des données d'entraînement	58